

B<sub>2</sub>



Douglas A. Herzberg G.

Phys. Rev. 57, 152

B<sub>2</sub>

(от науки стезевания)

1940.

Спектральный излучение молек. B<sub>2</sub>

Спектр. B<sub>2</sub> в молек. ведет к предположению  
30 вольтом. спектральная связь 2<sup>+</sup> с группой B

B<sub>2</sub> спектр наблюд. при разряде герм. не при 10 мм в  
с. спектры B<sub>2</sub> в обл. 3300-3400 Å, которая  
является группой (по Р и R ветви).

B<sub>2</sub>

Кабл. 2 ядра  $\Delta V = 0$  и  $\Delta V = +1$ .

Кристаллы. Канд. амаму, гал:

$$V = 30546,1 + (929,35 - 2.75V^2) - \sqrt{(10352V^2 - 9.58V^2)}$$

Вращающ. амаму гал  $B_0^4 = 1,205 \text{ см}^{-1}$   $B_0^1 = 1,155 \text{ см}^{-1}$

и срод.  $\tau_0'' = 1,595 \text{ н}$  и  $\tau_0' = 1,628 \text{ н}$

Вращение спина. Сильн. и слаб. линии  
линии между 2:1 и 1,5:1, саял ядерный

Спин  $I = 3/2$ . Ядерог  $3\Sigma_4^- - 3\Sigma_9^-$

при добавл. атома  $\rightarrow$   $B_N$   появля. 2 новояр

при добавл. водорода появля. линии  $3415$  и  $3100 \text{ н} \rightarrow B_N$ .

1940

 $B_2(V; B; \alpha; \tau_e)$ 

Douglas A.E., Herzberg G.

Cau. J. Research. 1940, 18, A, 165-74

Spectroscopic evidence of the  $B_2$  molecule and  
determination of its structure".C.A.1941, 690<sup>7</sup>

J

B<sub>2</sub>

В.К. Буркоцкий упр

1956

Отрём 43, ТОИ

Методико-рекомендательный  
спектр.

(Методика)

B<sub>2</sub><sup>+</sup>

B9p-631-V

1957

Margrave F.L.

A.P.

"J. Phys. Chem"  
1957, 61, NI, 38-40.

B<sub>2</sub>

A. A. Padgett (NBS)

1959

J. Chem. Phys. 30, 1286-91

V-4165

LCAO-MO, SCF цурение B<sub>2</sub>.

Коллажно, зр оен. соэф. B<sub>2</sub> ява.

$5\Sigma^-$ , а ке  $3\Sigma_g^-$  соэф. ява.

CAS3 W19

Соэф.  $3\Sigma_g^-$  и  $3\Pi_u$  расмо лотени

17660 B

ка 1,586 ● выше соэф.  $5\Sigma^-$  или  
мочу 5,750 нине ирч болле точн. расч.с.

B2 .

at. rocky success. 1961

Evans W.H.

Preliminary Report on the  
Thermodynamic Properties of  
Selected Light-Element and  
Some Related Compounds.

US.NBS, Report ~~18~~ N7093, 1961.

M.M.

$B_2$

Müller H.

1962

жидкая  
структура

Z. Chem., 1962, 2, №12, 380-1.

1-519M-2601

В жидком состоянии двухатомные молекулы  $A_2$  из атомов  $A$  имеют группы  $\bar{1}\bar{X}$ . Классификация термов и принцип построения.



(см.  $C_2$ )

1982

86

24 Б63. Масс-спектрометрическое определение теплоты сублимации бора и энергии диссоциации  $B_2$ . Verhaegen G., Drowart J. Mass spectrometric determination of the heat of sublimation of boron and of the dissociation energy of  $B_2$ . «J. Chem. Phys.», 1962, 37, № 6, 1367—1368 (англ.)

С помощью масс-спектрометра в интервале  $t-p$  1900—2400° К изучено испарение бора. Установлено, что давление пара не зависит от размера эффузионного отверстия и от навески в-ва. Значения  $\Delta H_0^0$  для р-ции  $B(тв.) \rightarrow B(газ)$ , рассчитанные из зависимости  $\lg P$  от  $1/T$  ( $-127,3 \pm 5$  ккал/г-атом) и с использованием функций свободных энергий для  $B(тв.)$  и  $B(газ)$  ( $-128,1 \pm \pm 2,5$  ккал/г-атом), хорошо согласуются. В паре над бором зарегистрированы также молекулы  $B_2$ . Отношение  $P_{B_2}/P_B$  при 2330° К составляет  $9 \cdot 10^{-5}$ . Рассчитав из спектроскопич. данных термодинамич. потенциал для молекулы  $B_2$ , авторы нашли величину  $\Delta H_0^0$  для р-ции  $B_2(газ) \rightarrow B(газ) + B(тв.)$  ( $-62,0 \pm 5$  ккал/моль), которая приводит к значению  $D_0^0(B_2) = 65,5$  ккал/моль. Ю. Ходеев

B.99 - 7052 - V

B<sub>2</sub>D<sub>0</sub>

X. 1983. 24

1964

4 Д98. Термохимические исследования масс-спектрометрическим методом. D r o w a r t J. Etudes thermochimiques par spectrométrie de masse. «Bull. Soc. chim. belg.», 1964, 73, № 5—6, 451—457. Discuss., 458 (франц.)

Методом масс-спектрометрии определены энергии диссоциации двухатомных молекул легких и тяжелых металлов типа  $B_2$ ,  $Al_2$ ,  $Ca_2$  и т. д. Полученные энергии диссоциации сопоставлены с результатами спектроскопических измерений; согласие в общем удовлетворительное, однако в ряде случаев ( $C_2$ ,  $Pb_2$ ) расхождения весьма большие. Тем же методом измерены энергии диссоциации молекул щелочноземельных окислов и сульфидов  $MgO$ ,  $CaO$ ,  $SrO$  (все в состояниях  $^3\Pi$ ),  $ScO$  ( $^4\Sigma$ ),  $CaS$ ,  $SrS$ ,  $BaS$  (все в состояниях  $^3\Sigma$ ); эти энергии диссоциации соответ-

см. № 45



ср. 1965. 48

отличия 81?

Ф0

B<sub>2</sub>

1

ственно равны 3,34, 3,58, 4,01, 6,85, 3,20, 3,21, 4,10 ( $\pm 0,2$  эв во всех случаях). Подчеркивается, что другими методами энергии диссоциации перечисленных в-в еще не измерялись. Наиболее полные измерения и сопоставления со спектроскопич. данными выполнены для окислов, сульфидов, селенидов и теллуридов элементов четвертой группы, при этом согласно со спектроскопич. данными весьма удовлетворительное. В: Быховский

B<sub>2</sub>

A-424

1965

Siegel B.

(Do)

Quart. Revs. London  
chem. Soc., 1965, 19,  
N2, 77-94

B2

George John. W.

1965

J. Chem. Educ., 42, N3, 152-153

Инструкция по использованию  
микродеятельности в химии  
на занятиях.

(С. Л. И.)

V-5390

1967

B<sub>2</sub>

12 Д109. Электронная структура молекулы B<sub>2</sub>. Ben-  
der Charles E. Davidson Ernest R. Electronic  
structure of the B<sub>2</sub> molecule. «J. Chem. Phys.», 1967, 46,  
№ 9, 3313—3319 (англ.)

электрон.  
структура

Метод конфигурационного взаимодействия применен для расчета низколежащих состояний молекулы B<sub>2</sub> с целью определения с большой достоверностью относительного положения этих состояний. Было рассмотрено 81 состояние, образованное из конфигураций, в которых в добавление к 1σ<sub>g</sub><sup>2</sup>- и 1σ<sub>u</sub><sup>2</sup>-оболочкам остающиеся 6 электронов распределены на 2σ<sub>g</sub>, 2σ<sub>u</sub>, 3σ<sub>g</sub>, 3σ<sub>u</sub>, 1π<sub>u</sub>, 1π<sub>u</sub><sup>\*</sup>, 1π<sub>g</sub>, 1π<sub>g</sub><sup>\*</sup>-орбиталях во всех возможных комбинациях. Расчеты производились при 10 значениях межъядерного расстояния. Нижайшим состоянием оказывается <sup>5</sup>Σ<sub>u</sub><sup>-</sup>-состояние при равновесном расстоянии 2,95 ат. ед.

М. П. Долгушин

09.1967. 12

B<sub>2</sub>

1967

6835f Electronic structure of the B<sub>2</sub> molecule. Charles F. Bender and Ernest R. Davidson (Univ. of Washington, Seattle). *J. Chem. Phys.* 46(9), 3313-19(1967)(Eng). The low-lying electronic states of the B<sub>2</sub> mol. have been investigated by using configuration interaction. Eighty-one states were considered and the lowest state was found to be the  ${}^5\Sigma_u^-$  (-49.14567 hartrees at  $r_e = 2.95$  bohrs). RCJQ

C.A. 1967. 67.2

B<sub>2</sub>

ommuck 3392 1967

Feber R.C.  
Herrick C.C.

u.n.

Report LA-3597 uc-4  
Chem. TID -4500'

BCP - A 1158

1968

B<sub>2</sub>

Empedocles P.

Theor. chim Acta 1968, 10 (4) 331-6.

cul.  
noem.

B<sub>2</sub>  
(с. н. о. б.)

вс. н. о. б.

Anderson A. B.,  
Parr R. B.

1970

J. Chem. Phys, 1970,  
53, № 8, 3375.

● (с. В. М.) И

$B_2$	$k_e \times 10^5$	$-l_e \times 10^{13}$	$m_e \times 10^{21}$	$k_e m_e / k_e^2$
	4,31 (3,58)	19,3 (18,1)	72,2 (63,7)	0,88 (0,70)

1970

B<sub>2</sub>

12 Д93. Расчет  $^5\Sigma_u^-$  — состояния молекулы B<sub>2</sub>.  
Kockel B. Eine Berechnung des  $^5\Sigma_u^-$ -Zustands des  
B<sub>2</sub>-Moleküls. «Z. Naturforsch.», 1970, 25a, № 5, 595—  
598 (нем.)

Состояние  $^5\Sigma_u^-$  молекулы B<sub>2</sub> рассчитано с учетом взаимодействия 25 конфигураций, содержащих 4 электрона из К-оболочек, 4σ- и 2π-электрона из обеих L-оболочек. Слейтеровские детерминанты построены 1) из ортонормированных МО ЛКАО; 2) из АО; способ (2) позволяет оценить характер связи в молекуле B<sub>2</sub>. Рассчитаны полная энергия и энергия связи; обсуждается характер кривых электронной плотности вдоль молекулярной оси.  
М. С. Борисов

расчет  
наименьшей  
энергии и энерг.  
связи

00. 1970. 129

B<sub>2</sub>

№. 111.  
парен

Sutton P. et al.

1970

Int. J. Quant. Chem.  
1970, Sympos. N 3,  
Part 2, 449.

(coll. Li<sub>2</sub>) III

B<sub>2</sub>

Исправление!

Sutton P, et al. 1970

Int. J. Quant. Chem.,  
1970, 4, no 6, 633.

к статье: "Методы  
расчета молекулы C..." "



(Cu. Li<sub>2</sub>)III

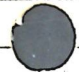
1971

Boyd R. F.  
Whitehead M. A.

J. Chem. Soc.,

1971, A, 122, 3579.

(Coll. BH) IV



B<sub>2</sub>

coll. на об.

y

Сравнение орбит. внутренней и внешней  
потенциалов планеты (Э V).

Система параметров.

<u>М-но.</u>	<u>Орбит.</u>	<u>I</u>	<u>II</u>	<u>III</u>	<u>IV</u>	<u>Эксер.</u>
--------------	---------------	----------	-----------	------------	-----------	---------------

B<sub>2</sub>

Т<sub>и</sub>

9.48

9.82

σ<sub>и</sub>

11.47

12.22

σ<sub>g</sub>

20.03

18.46

B<sub>2</sub>

racem  
re

Chu S. Y.  
Frost A. A.

1981

J. Chem. Phys., 54 (2),  
764.

(Chu. Yi<sub>2</sub>) III

1972

B<sub>2</sub>

u.n.

ОТЧЕТ ПО НАУЧНО-ИССЛЕДОВАТЕЛЬСКОМУ РАБОТУ  
ИЗДАНИИ 1972, 1973, 7

СЕРИОЗНОЕ ИССЛЕДОВАНИЕ. И ТОЖЕ-  
ВНЕЗАПНОСТЬ СВОЕГО ЗНАНИЯ.



B2

Elmer W.

1872

Z. Naturforsch

Kb. Mex  
Nacret

A 1872, 27(1), 133-7

C.A. 1872. 76. 20

coll Neg, III

B<sub>2</sub>

1973.

(c. n.)

Anderson, Alfred B.

J. Chem. Phys.

1973, 58(I), 381-3.

● (c. n. LiH; III)

B<sub>2</sub>

1973

papers

Σ̄: cur.

1. no. 5

Fleischhauer J., et al.

"Extended Hückel Theorie"

"tetrahedron Lett."

1973, 1745, 4273-4274.

(cur. №<sub>2</sub>; III)

40222.1940

Ph, TE, Ch

1973

B<sub>2</sub>

результаты

31469

№ 1992

Kulkarni K.S., Sarma C.R., Murthy J.S.  
Semi-empirical evaluation of single bond  
energies of some polyatomic molecules.  
"Indian J. Pure and Appl. Phys.", 1973,  
11; N 6, 431-432 (англ.)

0050 ВИМ

038 038

ВИНИТИ

31101.1811

Ch, Ph, TE

B<sub>2</sub>

Сумма 2936

40604

1973

1284

Náray-Szabó G. Decoupled Hartree-Fock  
methods. II. Calculation of the potential  
curves of diatomic molecules.

"Int. J. Quant. Chem.", 1973, 7, N 3,  
569-581

(англ.; рез. франц., нем.)

0993 ББК

973 976

806

ВИНИТИ

B<sub>2</sub>

1973

Sinnoglu, Ekber, Fazıl İ. Önder.

"J. Amer. Chem. Soc.", 1970, 92, 217, 9459-9462.

через  
связи

(см BH; III)

1974.

B<sub>2</sub>

расчет  
матрицы

Hirschfeld T.B., et al.  
Jol. Phys., 1974, 27, 15  
1539-1543.

(см. мощность)

(см. LiH; III)

40508.6013

TE, Ph, Ch

B<sub>2</sub>

40892 012

1974

2118

к р. N 40508.6012

Lie George C., Clementi Enrico.

Study of the electronic structure of molecules. XXII. Correlation energy corrections as a functional of the Hartree-Fock type density and см. прод.

086 087 098 0100 ВИНИТИ

its application to the homonuclear diatomic molecules of the second row atoms.

"J.Chem.Phys.", 1974, 60, N4, 1288-1296

(англ.)

		Индекс буквы	Фамилия	Шифр	Категория оплаты
Гонорар. Выработка.	Референт				
	Редактор I				
	Редактор II				
Виза редактора			Виза зав. сект.	Сдача в набор	

1475

В 2

Годовой отчет за 1975  
по гос 17-47

(Э.А. Снектер)

Лич. ф-т № 24  
руковод. Тлатевский В.М.

Комплексное исследование  
т.г. св-в и малек.  
пост.

B-B

num. 4824

1975

Kerr J. A., et al.

Handbook Chem. Phys.  
55th Ed., 1974-75

(Do)

50328.6997

Ф, X, TC

01921

Вз (см. лист) \* 5-8342

1975

Ab initio

Вер-9037-X

расчет силловик постоянных

некоторых двухатомных молекул.

Перевозчиков В.И., Грибов Л.А.

"Оптика и спектроскопия", 1975, 38,

№ 3, 510-512

(см. Лист; III)

0327 пик

312 314

319

реф

ВИНИТИ

B<sub>2</sub>

оттиски. А-2948

1975

Радугин А. А.

м.п. до Всб. "Миря пляжмор"  
Г. сев. пост. 1975, вып 2, 3-61.  
м., Автоиздат

1975

B<sub>2</sub>

8 Д135. Применение метода наименьших квадратов в расчетах конфигурационного взаимодействия. Roegen I. Application of a least-squares method in configuration interaction calculations. «Chem. Phys. Lett.», 1975, 31, № 2, 271—276 (англ.)

Предложен приближенный метод расчета конфигурац. взаимодействия (КВ), основанный на модификации метода наименьших квадратов. Для проведения вычислений по предложенной методике требуются лишь небольшая прямоугольная часть матрицы КВ и ее диагональные элементы. В качестве примера выполнены расчеты низшего  $^1\Sigma_g^+$ -состояния молекулы  $B_2$  в базе 96 конфигураций. Резюме

расчет

 $^1\Sigma_g^+$ 

ф. 1975 № 8

1975

B<sub>2</sub>

160481d Application of a least-squares method in configuration interaction calculations. Roeggen, I. (Theor. Chem. Dep., Univ. Oxford, Oxford, Engl.). *Chem. Phys. Lett.* 1975, 31(2), 271-6 (Eng). A least-squares method is proposed for obtaining approx. solns. of large CI matrices. The method requires that only a small rectangular part and the diagonal of the interaction matrix need to be constructed. The method should be particularly useful as a supplement to multiconfiguration SCF procedures. As a test example the method is applied to a 96 configuration calcn. of the lowest  ${}^1\Sigma_g^+$  state of the B<sub>2</sub> mol.

кв. мет.  
парем

C. A. 1975, 82 N 24

1975

 $B_2$ 

85157t Resolvent technique and Pade approximants in configuration interaction calculations. Roeggen, I. (Theor. Chem. Dep., Univ. Oxford, Oxford, Engl.). *Int. J. Quantum Chem.* 1975, 9(3), 431-43 (Eng). A perturbation approach based on resolvent technique and Pade approximants is proposed. The eigenvalue of interest is part of a soln. of 2 nonlinear algebraic equations. The nonlinear equations are arrived at by considering 2 different expressions of the expectation value of the resolvent of an outer projection of the Hamiltonian. The 1st expression is based on the spectral resolution of the resolvent, and the 2nd one is obtained by a power series expansion analogous to that applied in the derivation of the energy expression in the Brillouin-Wigner perturbation theory. The truncated power series is extrapolated by Pade approximants of type II. The method is tested on a CI calcn. of the energy of the lowest  ${}^1\Sigma$  state of the  $B_2$  mol.

Кв. мех.  
паарем.

C.A. 1975, 23, 10.

B<sub>2</sub>

Sannigrathi A. B.

1975

[(Zē; T); u.n.]

"Indian J. Pure and  
Appl. Phys" 1975, 13,  
N12, 811-815 (auu)

(au Li<sub>2</sub>; iii)



B<sub>2</sub>

1976

Arce F., et al

An. quim. Real. Soc.

esp. fis. y quim. 1976,  
72, NB, 505-8.

(partem  
cua. uoer.)

(all Liz ; III)

48-14835

1976

B<sub>2</sub>

H<sub>2</sub>BO

"

u.n

(+1) ⊗

85: 114310m Boron atoms, diatomic boron and dihydrogen  
 oxoboryl molecules: ESR and optical spectra at 4°K.  
 Graham, W. R. M.; Weltner, W., Jr. (Dep. Chem., Univ.  
 Florida, Gainesville, Fla.). *J. Chem. Phys.* 1976, 65(4),  
 1516-21 (Eng). Elemental B was vaporized and trapped in solid  
 Ar at 4-10°K. The Douglas-Harzburg transition of B<sub>2</sub> was obsd.  
 in absorption at 3300 Å at 10°K, indicating that the lower  $\Sigma$   
 state is the ground electronic state. However, B<sub>2</sub> was not obsd.  
 via ESR, which is interpreted as support for a  $^3\Sigma_g^-$  ground state  
 with a zero-field splitting greater than  $\sim 4$  cm<sup>-1</sup>, rather than  $^5\Sigma_u^-$   
 favored by ab initio calcs. The ESR spectrum of B atoms in  
 solid Ar was also detected. It exhibits axial symmetry and  
 almost complete quenching of the orbital angular momentum of  
 the  $^2P_{1/2}$  free atom, with  $g_{\parallel} = 2.0014(5)$ ,  $g_{\perp} = 1.9645(30)$ . The  
 simple crystal field model was applied in the interpretation of  
 the  $g$  and hyperfine tensors and comparison made with Al and  
 Ga in Ar. The ESR spectrum of H<sub>2</sub>BO, appearing as an  
 impurity, was obsd. for the 1st time, and its magnetic parameters  
 detd.

C.A. 1976 85 N16

14835

1976

$B_2$

$H_2BO$

спектр  
ЭПР

3 Б258. Атомы  $B$ , молекулы  $B_2$  и  $H_2BO$ . Спектры ЭПР и оптические спектры при  $4^\circ K$ . ~~G. G. A. G. G. W. R. M.,~~ Weltner W., Jr. A atoms,  $B_2$  and  $H_2BO$  molecules: ESR and optical spectra at  $4^\circ K$ . «J. Chem. Phys.», 1976, 65, № 4, 1516—1521 (англ.)

Исследованы спектры ЭПР и оптич. спектры элементарного бора, захваченного из парообразного состояния в тв. аргоне при  $T$ -рах в интервале  $4-10^\circ K$ . В оптич. спектре при  $10^\circ K$  наблюдали переход Дугласа — Герцберга в  $B_2$  при  $\sim 3300 \text{ \AA}$ , свидетельствующий о том, что низшее  $\Sigma$ -состояние является основным электронным состоянием. Спектры ЭПР молекулы  $B_2$  не наблюдаются. Это подтверждает предположение о том, что основным состоянием с большей вероятностью является  $^3\Sigma_g^-$  с расщеплением в нулевом поле больше  $4 \text{ см}^{-1}$ , а не со-

(71)

X. 1977. № 3

стояние  $^5\Sigma_u^-$  — как следует из неэмпирич. расчетов МО. Получены спектры ЭПР атомов В в тв. аргоне. Спектры характерны для центров с аксиальной симметрией в случае почти полного гашения орбитального углового момента  $^2P_{1/2}$  свободного атома. Определены параметры спин-гамильтониана спектров ЭПР атомов В в матрице аргона при  $4^\circ\text{K}$ :  $g_{\parallel} = 2,0012 - 2,0014$ ,  $g_{\perp} = 1,9645$ ,  $A_{\parallel}(^{10}\text{B}) = 15$ ;  $A_{\parallel}(^{11}\text{B}) = 45$ ,  $A_{\perp}(^{10}\text{B}) = -4$ ;  $A_{\perp}(^{11}\text{B}) = -12$  гс. Полученные значения  $g$ - и  $A$ -тензора объяснены в рамках простой модели крист. поля. Результаты сопоставлены с данными по ЭПР атомов Al и Ga в матрице аргона, также имеющих основное состояние  $^2P_{1/2}$ . Получены спектры ЭПР молекул  $\text{H}_2\text{O}$ , присутствующих в системах в кач-ве примеси, и определены параметры спектров:  $g = 2,0082$ ,  $A(\text{H}) = 372$ ,  $A(^{11}\text{B}) = 87$ ,  $A(^{10}\text{B}) = 28$  Мгц.

В. В. Жуков

B2

1976

Турезовичев В.И. 491

Дит. спектрок. 1976, 4(2),  
332-4,

(проект  
сир. уел.)

(сир. М2) III

1976

B2

Pamuk H. Onder

Chim. acta turc. 1976,  
4, N3, 224-6 (anus.)

нарное  
исрне  
энепич

с. ВМ-III

61115.1944

Ch, Ph, TC

B2

34469

1976

\* 4-15287

Sannigrahi, A. B., Mohammad S. Noor.

Contracted basis set extended Hückel calculations on the first-row homonuclear diatomics.

"Indian J. Pure and Appl. Phys.", 1975, 13, N 12, 811-815 (англ.) 0746 пнк

713 713

7 3 8

ВИНИТИ

1977

B<sub>2</sub>C<sub>2</sub>N<sub>2</sub>O<sub>2</sub>F<sub>2</sub>

CO

BF

(расчет энергии связи)

CP, 1978, N 8

8 Д152. Молекулярные расчеты, использующие метод ячеечных орбиталей. Gunnarsson O., Hagris J., Jones R. O. Molecular Calculations Using the Muffin-Tio Orbital Method. «Int. J. Quantum Chem.», 1977, Quantum Chem. Symp.», № 11, 71—74 (англ.)

Предложен новый метод расчета электронной структуры кластеров и молекул, основанный на формализме Хоэнберга — Кона — Шэма, в котором обменно-корреляционная энергия представляется в виде функционала от локальной плотности. Одночастичное уравнение Шрёдингера, возникающее в задаче самосогласованного поля, решается методом линейных ячеечных орбиталей Андерсена (Andersen O. K. et al., «Mol. Phys.», 1973, 26, 905). Этот метод использует не зависящий от энергии базис и дает вариационное решение для «ячеечного» потенциала. В методе не используются подгоночных па-

(76)

⊠

раметров — единственными исходными данными являются заряды ядер. Для двух атомных молекул  $B_2$ ,  $C_2$ ,  $N_2$ ,  $O_2$ ,  $F_2$ ,  $CO$  и  $BF$  рассчитаны энергии связи, равновесные расстояния, частоты колебаний и дипольные моменты. Результаты вычислений приведены графически. Они хорошо согласуются с экспериментом и сравнимы с наилучшими имеющимися результатами расчетов с учетом конфигурац. взаимодействия. Тенденции в ряде двухатомных молекул, передаются правильно, а различия между расчетом и экспериментом являются систематическими: рассчитанные энергии связи на 1—2 эв. меньше экспериментальных, рассчитанные частоты колебаний на 100—200  $cm^{-1}$  меньше, а рассчитанные равновесные расстояния на 0,1—0,2 а. ед. массы больше экспериментальных.

И. Гегузин

B<sub>2</sub>

1974

Gunnarsson O, et al

(u.n;  $\gamma_e^-$ ) Phys. Rev. B; Solid  
State, 1974, 15 (6),  
3027 - 38

(em. H<sub>2</sub>; III)

Оттиски 9476 1977

5 Д142. Теория функционала плотности и молекулярная связь. I. Двухатомные молекулы второго периода таблицы элементов. Gunnarsson O., Harris J., Jones R. O. Density functional theory and molecular bonding. I. Firstrow diatomic molecules. «J. Chem. Phys.», 1977, 67, № 9, 3970—3979 (англ.)

Представлены результаты расчетов распределений электронной плотности, кривых электронных термов, спектроскопич. постоянных и величин полной энергии для основного состояния молекул  $B_2$ ,  $C_2$ ,  $N_2$ ,  $O_2$ ,  $F_2$ ,  $CO$  и  $VF$  с помощью метода решения самосогласованной системы одночастичных ур-ний, у которых потенциал

$C_2$

45

П/3

99, 1978, 15

(а тем самым эффекты обмена и корреляции электронов) определен через функционал от электронной плотности. Метод решения является альтернативным обычно используемым приближениям Хартри-Фока и конфигурац. взаимодействия электронов. Кратко рассмотрены детали процедур разложения волн. ф-ций по выбранному базису и других упрощающих предположений. Результаты расчетов для каждой из молекул сопоставлены с другими имеющимися данными; обсуждается точность полученных значений, которая сравнима с аналогичным показателем в методе КВ. Найденные в рамках метода зависимости собств. значений энергии от межъядерных расстояний для ряда состояний молекул анализируются с точки зрения вклада в них отталкивательного и притягивающего взаимодействия зарядов. Рассмотрен вопрос о чувствительности полученных результатов к выбранной форме функционала электронной плотности.

А. Радциг

B<sub>2</sub>

ommica 9476

1977

88: 28085x Density functional theory and molecular bonding.  
 I. First-row diatomic molecules. Gunnarsson, O.; Harris, J.;  
 Jones, R. O. (Inst. Festkoerperforsch., KFA, Juelich, Juelich,  
 Ger.). *J. Chem. Phys.* 1977, 67(9), 3970-9 (Eng). The d.  
 functional equations of Hohenberg, Kohn, and Sham (HKS)  
 (1964, 65) are solved self-consistently for simple mols. using a  
 method described originally by O. K. Andersen and R. K.  
 Woolley (1973). Spectroscopic consts., calcd. for B<sub>2</sub>, N<sub>2</sub>, F<sub>2</sub>, CO,  
 and BF and for the four lowest lying states of C<sub>2</sub>, are in good  
 agreement with expt. Results are consistently better than  
 Hartree Fock and comparable with those of configuration  
 interaction calens.

M. R.

kl. uet.  
pactet

(+4)

⊠



C.A., 1978, SS, NY

Оттиски 9476 1977

8 Б18. Теория функционала плотности и связыва-  
ние в молекулах.. I. Двухатомные молекулы второго  
периода. Gunnarsson O., Harris J., Jones R. O.  
Density functional theory and molecular bonding. I.  
Firstrow diatomic molecules. «J. Chem. Phys.», 1977, 67,  
№ 9, 3970—3979 (англ.)

- B<sub>2</sub>
- C<sub>2</sub>
- N<sub>2</sub>
- O<sub>2</sub>
- F<sub>2</sub>
- CO
- BF

(расчет с кривой ковал.)

(+6) ▣

да  
ф-г

2, 1978, № 8

Рассмотрено применение формализма функционала плотности (ФП) Хоэнберга, Кона и Шэма к молек. задачам. Указанный формализм позволяет свести задачу об  $N$  взаимодействующих электронах, находящихся во внешнем потенциале  $V$ , к задаче о невзаимодействующих электронах в нек-ром потенциале  $V_{\text{эфф}}$ . Потенциал  $V_{\text{эфф}}$  определяется в ходе процедуры самосогласования. Обсуждена возможность расчета состояний с заданной мультиплетностью. Приведены результаты расчета основных состояний двухатомных молекул  $B_2$ ,  $C_2$ ,  $N_2$ ,  $O_2$ ,  $F_2$ ,  $CO$  и  $BF$  методом ФП. Для  $C_2$  рассмотрены также нижние возбужденные состояния. Получены значения энергий диссоциации, равновесных межъядерных расстояний и частот колебаний, а также карты разностной электронной плотности. Согласно результатам метода ФП с эксперим. данными лучше, чем при расчете методом Хартри—Фока, и соответствует расчетам с учетом конфигурац. взаимодействия.

А. В. Абраменков

B<sub>2</sub>

osmuck 5457

1977

Lowe J.P.

J. Amer. Chem. Soc.,

1977, 99, (17), 5557-70.

(y)

B<sub>2</sub><sup>-</sup>

number 5757

1977

Lowe J.P.

Do; Ae;  
J

J. Amer. Chem. Soc.  
1977, 99 (17), 5557-70

B<sub>2</sub>

1974

Weltner William Jr.

Int. Conf. Matrix Isol.  
Spectroscopy. Diskussions  
tag. Dtsch. Bunsen ges.  
Phys. Chem. West-Berlin,  
1977. Extended abstr.  
Berlin, s.a., I64-I69.

срн. обн.  
Дискус.  
сообщ.

(см. Т. 10, 11)

$B_2$

23 Б20. Основное электронное состояние  $B_2$ . Dupuis H., Liu B. The ground electronic state of  $B_2$  «J. Chem. Phys.», 1978, 68, № 6, 2902—2910 (англ.)

1978

Проведены расчеты молекулы  $B_2$  в низших электронных состояниях  $^3\Sigma_g^-$ ,  $^5\Sigma_u^-$ ,  $^3\Sigma_u^-$ . Базис слейтеровских орбиталей, включающий функции  $f$ -типа построен из АО, оптимизированных для систем В и В<sup>-</sup>. После определения  $M_0$  методом ССП и многоконфигурац. методом ССП (МКССП), проведено разбиение их на три класса: класс МО остова (1), класс валентных МО, коррелирующих с АО  $2s$ - и  $2p$ -типа (2), и внешние МО (3). Далее найдено МО  $\sigma$ - и  $\pi$ -типа использованы в методе конфигурац. взаимодействия с полным учетом всех конфигураций с валентными МО и с дополнительным учетом всех конфигураций, полученных замещением одной МО класса 2 на МО класса 3. При этом все конфигурации содержат неизменную часть с МО класса 1. В области межъядерных расстояний от 2 до 20 ат. ед. рассчитаны потенциальные кривые, проанализирована чувствительность потенциалов взаимодействия к выбору МО класса 2. Определены спектроскопич. постоянные, фрак-кондоновские факторы и ширины полос для основных переходов. Результаты использованы для интерпретации спектра молекулы  $B_2$ .

с. 17.

И.А. 19 м.м.ш.м.д.

2:1978, N 23

В. И. Пупышев

ommuu 6174

1978

B<sub>2</sub>

88: 198089u The ground electronic state of diatomic boron. Dupuis, M.; Liu, B. (IBM Res. Lab., San Jose, Calif.). *J. Chem. Phys.* 1978, 68(6), 2902-10 (Eng). An accurate ab initio configuration interaction calcn. has established that the ground electronic state of B<sub>2</sub> is of  $^3\Sigma_g^-$  symmetry, and that the Douglas-Herzberg emission system near 3200 Å is due to transitions from the 2nd  $^3\Sigma_u^-$  state to the X  $^3\Sigma_g^-$  state. The lowest  $^5\Sigma_u^-$  state, suggested by previous calcns. as the ground state, is found to lie  $\sim 1300$  cm<sup>-1</sup> above the X  $^3\Sigma_g^-$  state. The assignment of the Douglas-Herzberg transition is based on the close agreement between calcd. and obsd. mol. consta. which, with obsd. values in parentheses, are  $R_e(^3\Sigma_g^-) = 1.622(1.590)$  Å,  $\omega_e(^3\Sigma_g^-) = 988.5(1035.2)$  cm<sup>-1</sup>,  $R_e(2^3\Sigma_u^-) = 1.660(1.625)$  Å,  $\omega_e(2^3\Sigma_u^-) = 884.5(929.3)$  cm<sup>-1</sup>, and  $T_e(2^3\Sigma_u^-) = 31438(30546.1)$  cm<sup>-1</sup>. Further support for this assignment is seen in the close agreement between calcd. and obsd. isotope shifts and intensity distributions. An explanation is given for why the  $1^3\Sigma_u^- - X^3\Sigma_g^-$  transition has not been obsd.

M, N

C.A. 1978, 88, N26

1978

$B_2$

10 Д112. Основное электронное состояние  $B_2$ . Dupuis M., Liu B. The ground electronic state of  $B_2$ . «J. Chem. Phys.», 1978, 68(6), 2902—2910 (англ.)

Неэмпирическим методом ССП МО ЛКАО в базисе орбиталей слэтеровского типа  $6s5p3d1f$  с учетом конфигурац. взаимодействия, а также в многоконфигурац. приближении проведены расчеты  $B_2$  в состояниях  $X^3\Sigma_g^-$ ,  $a^5\Sigma_g^-$ ,  $1^3\Sigma_u^-$  и  $2^3\Sigma_u^-$ . Приведены потенц. кривые для межъядерных расстояний 2—20 ат. ед., энергетич. характеристики, равновесные длины связей, вращательные постоянные, спектроскопич. постоянные  $\omega_e$ ,  $\omega_e x_e$ ,  $B_e$ ,  $D_e$ , энергии, дипольные моменты и силы осцилляторов переходов, факторы Франка—Кондона, величины изотопных сдвигов. Показано, что основным состоянием  $B_2$  является  $X^3\Sigma_g^-$  (предполагавшееся ранее основным состояние  $^5\Sigma_u^-$  расположено на  $\sim 1300 \text{ см}^{-1}$  выше по энергии). Система полос Дугласа—Герцберга в эмиссионном спектре, располагающаяся в области 3200 Å, отнесена к переходам между состояниями  $2^3\Sigma_u^-$  и  $X^3\Sigma_g^-$ . Рассчитанные характеристики хорошо согласуются с эксперим. данными. Интенсивность перехода  $1^3\Sigma_u^- \rightarrow X^3\Sigma_g^-$  найдена малой; видимо, по этой причине переход не наблюдается на опыте. В. Л. Лебедев

основн.  
электр.  
состояни.

оп. 1978, №10

6174  
Синтез

B<sub>2</sub>

ammua 6491

1978.

расов  
фаворит.  
сфундури.  
д. сфундури

Mehandru S. P., et al.

Indian J. Chem.

1978, A16, 297-99

(see. Li<sub>2</sub>, III)

B<sub>2</sub>

Дм. 17578

1978

Степанов Н. Ф., Серекент

В. Я. и др.

Расчет  
мощности  
полюсных  
моментов

Вестник Моск. ун-та,  
Сер. Физмат, 1978, 19, №,  
484-5.



B2

B9-N-6249 1979

Dunlap B.T. et al

м.п.  
кв. мех.  
паарет

J. Chem. Phys., 1979, 49,  
N12, 4993-8

Cell Res; III

B<sub>2</sub>

C<sub>2</sub>

N<sub>2</sub>

O<sub>2</sub>

F<sub>2</sub>

(44)

расчет  
кривых  
потенц. эи.  
равнов. геом.

Ф. 1980. N 1

1 Д111. Канонические модуляционные параметры обменной энергии в молекулярных расчетах МТХ $\alpha$ . Некоторые гомоядерные двухатомные молекулы второго периода. The canonical exchange energy modulation parameters in molecular МТХ $\alpha$  calculations. Some first row homonuclear diatomic molecules., Konowalow Daniel D., McAdon Mark H., Rosenkrantz Marcu E., Maffuid Paul, Freinhar Jack P., Ottman Randall J., Bennett Reid, Tipton Paul. «Chem. Phys. Lett.», 1979, 65, № 3, 494—499 (англ.)

Предложена новая схема расчета электронной структуры молекул методом Х $\alpha$  в ячеечном приближении (МТ-модель). Схема ...звана канонической, поскольку в ней предлагается использовать для всех объектов одни и те же значения модуляционных параметров при вычислении обменных потенциалов, а именно  $\alpha_I = 2/3$  (модель Кона — Шэма) и  $\alpha_{II} = \alpha_{III} = 1$  (модель Слэтера). Схема применена к расчету кривых потенц. энергии, равновесных межатомных расстояний, энергий диссоциации и потенциалов ионизации для основных состояний двухатомных молекул B<sub>2</sub>, C<sub>2</sub>, N<sub>2</sub>, O<sub>2</sub> и F<sub>2</sub>. Библ. 38. И. И. Гегузин

$B_2$   
 $C_2$   
 $N_2$   
 $O_2$   
 $F_2$

2 Б24. Канонические модуляционные параметры обменной энергии в молекулярных расчетах  $X_\alpha$  методом рассеянных волн. Некоторые гомоядерные двухатомные молекулы [из элементов] второго периода. Kopowalow Daniel D., McAdon Mark H., Rosenkrantz Marcy E., Maffuid Paul, Freinhar Jack P., Ottman Randall J., Bennett Reid, Tipton Paul. The canonical exchange energy modulation parameters in molecular  $MTX_\alpha$  calculations. Some first row homonuclear diatomic molecules. «Chem. Phys. Lett.», 1979, 65, № 3, 494—499 (англ.)

Предложена схема расчетов потенциальных кривых двухатомных молекул методом  $SSH-X_\alpha$  рассеянных волн, основанная на использовании канонич. обменных параметров  $\alpha_I=2/3$  для всех атомных сфер в молекуле и значений  $\alpha_{II}=\alpha_{III}=1$  для межсферной и внешней области молекулы. Разработанная схема обладает тем

расчет  
потенц. кривых



(4-У) X

2.10.80.12

1979  
Оттиски 8480

достоинством, что все расчеты проводятся в обычном приближении «маффин — тин» с касающимися атомными сферами (МТХ<sub>α</sub>) и не возникает особых проблем с выбором параметров сфер. На примере расчетов потенциальных кривых молекул В<sub>2</sub>, С<sub>2</sub>, N<sub>2</sub>, O<sub>2</sub> и F<sub>2</sub> показано, что в рамках канонич. схемы выбора параметров α рассчитанные равновесные длины связей превышают эксперим. значения не более, чем на 10—15% для всех молекул. Рассчитанные энергии диссоциации удовлетворительно согласуются с экспериментом. Канонич. МТХ<sub>α</sub>-метод приводит также к надежным значениям энергий ионизации. Результаты проведенных расчетов сопоставлены с другими X<sub>α</sub>-расчетами и с экспериментом.

И. А. Тополь

B<sub>2</sub>

[ommu 9796]

1979.

Mehandru S. P.  
etal.

परिचय,  
वैयर्थ्य,  
ले

Proc. Indian Nat.  
Sci. Acad., 1979,  
A 45, (5), 367-71

● (ए. लि. २; III)

B<sub>2</sub>

эмззззззз 8901

1979

Ohwada K.

Spectrochim acta,

1979, A35, 1353-57.

США, МОСТ.

оттиска 10261 1049

10 Б21 Деп. Расчеты основного и ряда возбужденных состояний молекулы  $B_2$  и атомов В и О. Павловский И. В., Степанов Н. Ф. «Вестн. МГУ. Химия.» М., 1979. 9 с., ил., библиогр. 5 назв. (Рукопись деп. в ВИНТИ 12 янв. 1979 г., № 144—79Деп.)  
Рассчитаны основное и ряд возбужденных состояний молекулы  $B_2$  ( $1,3\Sigma^{\pm}_{u,g}$ ,  $1,3\Pi_{u,g}$ ,  $1,3\Delta_{u,g}$ ) методом взаимодействия конфигураций и атомов В ( $2P$ ,  $2P_i$ ,  $2D$ ,  $4S$ ) и О ( $3P$ ,  $1D$ ,  $1S$ ) ограниченным методом Хартри—Фока.  
Автореферат

$B_2$  (+)  
В  
О  
расчет  
основн.  
состояния,

отт. 17519

отт. 10260

(+1)

х.в.т.н.10

B<sub>2</sub>

Commuen 10481

1980.

Aufderheide K.H. et al.

Ab. vert.  
factes

J. Chem. Phys., 1980, 73,  
(4), 1789-1804

$^3B_2$

1980

Jung R, et al.

Theor. Chim. acta, 1980,  
54, n2, 131-44

кв. мех.  
расп.; 5;  
м. свдм

евр. FH-III

[Lennard-Jones 12-45]. 1980.

B<sub>2</sub>

Klimo V.; et al.

кв. мех.  
факт.  
успех.  
предл.

Mol. Phys., 1980, 41,  
(3), 477-81.

1980

B<sub>2</sub>

О. Павловский

93: 83785d Calculations of the ground state and a series of excited states of molecular boron and boron and oxygen atoms. Pavlovskii, I. V.; Stepanov, N. F. (USSR). *Vestn. Mosk. Univ., Ser. 2: Khim.* 1980, 21(2), 198 (Russ). Ground and a series of excited states were calcd. of B<sub>2</sub> (<sup>1,3</sup>Σ<sub>u,g</sub><sup>±</sup>, <sup>1,3</sup>Π<sub>u,g</sub>, <sup>1,3</sup>Δ<sub>u,g</sub>) by the CI method and of at. B (<sup>2</sup>P, <sup>2</sup>P<sub>i</sub>, <sup>2</sup>D, <sup>4</sup>S) and at. O (<sup>3</sup>P, <sup>1</sup>D, <sup>1</sup>S) by the RHF method.

кв. мех,  
расчет

Берн

CA 1980 93 N 8

B<sub>2</sub>

ОТМУЕК 12815 1981

обзор,  
теория  
расши  
слонек.  
орбитали,  
геометрия.

Bohm M.C., Gleiter R.

Theor. Chim. acta,  
1981, 59 (2), 153-179.

B<sub>2</sub>

Osmmuck 13408 | 1981

B<sub>2</sub><sup>+</sup>

Gollich H.

Ei, u. u.

J. Phys. B: Atom. and

Mol. Phys., 1981, 14,  
N 23, 4457-4467.



(see Be<sub>2</sub>; III)

B<sub>2</sub>

1981

Klimo Viliam, et al.

номер. Collect. Czech. Chem.

кривые Commun. 1981, 46 (12)

к.б. смх.

3171 - 3178.

решка

● (см. Гиз; III)  
(см. Be<sub>2</sub>; III)

B<sub>2</sub>

1981

Weltner W. Jr.

Gov. Rep. Announce.

Index (U.S.) 1981, 81(14),

2837.

спектр  
в единице  
Vi; м.н.

● (см. CM<sub>2</sub>; III)

Вн (кластеры)

1981

Whiteside R.A.

теорет. Diss Abstr. Int. B. 1981,  
расшир. 42 (3), 1038.

(Вн (кластеры; III))

$B_2$

Ит. 14999

1982

1 Д116. Численные расчеты Хартри—Фока—Слэтера для двухатомных молекул. Numerical Hartree—Fock—Slater calculations on diatomic molecules. Векселе А. Д. «J. Chem. Phys.», 1982, 76, № 12, 6037—6045 (англ.)

Предлагается численный метод для расчета молекулярных волн. ф-ций в рамках формализма Хартри—Фока—Слэтера, основанный на определении волн. ф-ций на двумерной сетке в вытянутой сфероидальной системе координат. Задача нахождения энергии сводится тогда к определению собств. значений симметричной матрицы с блок-диагональной структурой. Метод применяется к расчету двухатомных молекул  $B_2$ ,  $C_2$ ,  $N_2$ ,  $CO$ ,  $O_2$ , причем полученные энергии диссоциации, равновесные расстояния и частоты колебаний хорошо согласуются с эксперим. данными и результатами ССП расчетов. Отмечается невозможность—использования предлагаемого метода для многоатомных молекул из-за трудностей построения ортогональных трехмерных координатных систем для многоцентровых конфигураций.

А. А. Зембеков

Кв. мех  
расчет

М.П.,  $D_0$ ,  $V_i$

(74) 7

Ср. 1983, 18,

NI

B<sub>2</sub>

От. 14999

1982

2Б24. Численные расчеты двухатомных молекул методом Хартри—Фока—Слейтера. Numerical Hartree—Fock—Slater calculations on diatomic molecules. Вестке А. Д. «J. Chem. Phys.», 1982, 76, № 12, 6037—6045 (англ.)

Предложен чисто численный метод решения уравнений Хартри—Фока—Слейтера, не использующий ни разложения по базису, ни ячеечной аппроксимации потенциала. Для двухатомных молекул использованы вытянутые

Кв. корр.  
расчет

Х. 1983, 19, № 2

сфероидальные координаты, все вычисления проводятся на двумерной дискретной сетке в этих координатах. Проведены расчеты молекул  $B_2$ ,  $C_2$ ,  $N_2$ ,  $CO$ ,  $O_2$ ,  $F_2$ , изучена сходимость решения (путем увеличения кол-ва точек в сетке). Вычисленные энергии диссоциации, длины связей, частоты колебаний, квадрупольные моменты и функция дипольного момента (для молекулы  $CO$ ) сопоставлены с результатами хартри-фоковских расчетов, нек-рых подходов, использующих  $X_\alpha$ -приближение (дискретный вариац. метод и метод ЛКАО- $X_\alpha$ ) и с эксперим. данными. Предложенный метод дает хорошую точность для изученных молекул. Сделан вывод, что приближение Хартри—Фока—Слейтера с удовлетворительной точностью описывает молек. свойства.

М. Гофман

B<sub>2</sub>

OMMUCK 14999 1982

no pen  
no pen

97: 115596u Numerical Hartree-Fock-Slater calculations on diatomic molecules. Becke, A. D. (Dep. Phys., McMaster Univ., Hamilton, ON Can. L8S 4M1). *J. Chem. Phys.* 1982, 76(12), 6037-45 (Eng). A completely numerical method is presented for the calcn. of Hartree-Fock-Slater wave functions for diat. systems. The method is numerical in the sense that no LCAO basis sets are employed. Muffin-tin or other cellular approxns. are also avoided. All mol. functions are defined on a 2-dimensional discrete mesh in prolate-spheroidal coordinate space. The method is math. very simple, and numerical accuracy is easily controlled by changing the no. of mesh points. Calcns. on the mols. B<sub>2</sub>, C<sub>2</sub>, N<sub>2</sub>, CO, O<sub>2</sub>, and F<sub>2</sub> are reported; dissocn. energies, bond lengths, vibrational frequencies, and charge moments are compared with recent LCAO results and with expt. The method works well for the mols. considered; the Hartree-Fock-Slater theory describes mol. systems remarkably well.

~~X~~

(+5)

C.A. 1982, 97, N14

B<sub>2</sub>

Оммуек 14472

1982

97:14313u The emission spectrum of diatomic boron. Bredohl, H.; Dubois, I.; Nzohabonayo, P. (Inst. Astrophys., Univ. Liege, B-4200 Liege, Belg.). *J. Mol. Spectrosc.* 1982, 93(2), 281-5 (Eng). The emission spectrum of B<sub>2</sub> was reinvestigated under high resolu. Six bands of <sup>11</sup>B<sub>2</sub> (0-0, 1-1, 1-0, 2-1, 3-2, and 0-1) as well as 4 bands of <sup>10</sup>B<sup>11</sup>B (0-0, 1-0, 2-1, and 3-2) were rotationally analyzed. Accurate rotational and vibrational const. were obtained. The triplet character of the transition (<sup>3</sup>Σ<sub>u</sub><sup>-</sup>-X<sup>3</sup>Σ<sub>g</sub><sup>-</sup>) was unambiguously established for the first time and spin-spin interaction const. is obtained for the excited state.

${}^3\Sigma_u^- - X{}^3\Sigma_g^-$

высокое  
разрежение.

C. A. 1982, 97, N2.

B<sub>2</sub>

Оттиск 14472 1982

12 Д628. Спектр испускания B<sub>2</sub>. The emission spectrum of B<sub>2</sub>. Bredohl H., Dubois I., Nzohabo-payo P. «J. Mol. Spectrosc.», 1982, 93, № 2, 281—285 (англ.)

С высоким разрешением заново исследован спектр испускания молекулы B<sub>2</sub>, возбуждаемый СВЧ-разрядом в смеси He/BCl<sub>3</sub>. Выполнен вращательный анализ полос (0—0,1—1,1—0,2—1,3—2 и 0—1) молекулы <sup>11</sup>B<sub>2</sub> и 4 полос (0—0,1—0,2—1 и 3—2) молекулы <sup>10</sup>B<sup>11</sup>B. Определе-

ны колебательные и вращательные спектроскопич. постоянные. Впервые однозначно продемонстрирован триплетный характер перехода <sup>3</sup>Σ<sub>u</sub><sup>-</sup>—X<sup>3</sup>Σ<sub>g</sub><sup>-</sup>. Для возбужденного состояния определена константа спин-спинового взаимодействия.

В. С. Иванов

Спектр,  
М.П.

Ф. 1982, 18, № 12

B<sub>2</sub>

Дмитев 14472 1982

24 Б155. Спектр испускания B<sub>2</sub>. Bredohl H., Dubois I., Nzo habonayo P. ~~The~~ emission spectrum of B<sub>2</sub>. «J. Mol. Spectrosc.», 1982, 93, № 2, 281—285 (англ.)

С высоким разрешением заново измерен электронный спектр испускания молекул B<sub>2</sub>, возбуждаемый МВ-разрядом через поток гелия (~2 Торр) со следом BCl<sub>3</sub>. В области 3170—3400 Å наблюдается семь полос <sup>11</sup>B<sub>2</sub> с красным оттенением, образующие три прогрессии — интенсивную  $\Delta v=0$ , более слабую и развитую  $\Delta v=+1$  и прогрессию  $\Delta v=-1$ , в которой проявляется только первый член. Более слабые полосы отнесены к молекуле <sup>10</sup>B<sup>11</sup>B. Проанализирована колебательная структура измеренной системы и вращательная структура полос 0—0, 1—1, 0—1, 1—0, 2—1 и 3—2 <sup>11</sup>B<sub>2</sub> и 0—0, 1—0, 2—1 и 3—2 <sup>10</sup>B<sup>11</sup>B. Рассчитаны спектроскопические постоянные молекул B<sub>2</sub> для каждого вибронного уровня,

М.П.

X. 1982, 19, N 24.

а также равновесные молек. постоянные для основного состояния ( $\text{см}^{-1}$ ) —  $\omega_e = 1052,74(52)$ ,  $\omega_e x_e = 9,94(25)$ ,  $B_e = 1,2157(9)$ ,  $\alpha_e = 0,0152(8)$ ,  $D_e = 6,5(4)$  и возбужденного —  $T_e = 30574,44(23)$ ,  $\omega_e = 937,19(36)$ ,  $\omega_e x_e = 2,58(12)$ ,  $B_e = 1,1648(11)$ ,  $\alpha_e = 0,0122(6)$ ,  $D_e = 7,0(4)$ . В полосе 0—0 наблюдается спиновое расщепление при низких значениях вращательного квантового числа  $N$ . Показано, что постоянная спин-вращательного взаимодействия мала как для верхнего, так и для нижнего состояния, а постоянная спин-спинового взаимодействия в возбужденном состоянии ( $\lambda_0' = -0,068 \text{ см}^{-1}$ ) на порядок больше, чем в основном. Подтверждено отнесение измеренной системы к переходу  ${}^3\Sigma_u^- \rightarrow X{}^3\Sigma_g^-$ . С. Б. Осин



$B_2$

$B_2^+$

И. Мех.  
расчет

1982

1 Д127. Расчеты гомоядерных двухатомных молекул первого и второго рядов методами Хартри — Фока и КВ. Hartree—Fock and CI calculations on homonuclear diatomic molecules of the first and second row. McLean A. D., Liu B., Chandler G. S. «Moment. Wave Funct. 2 Meet., Adelaide, 18—24 Febr., 1982». New York, 1982, 90—100 (англ.)

Методами ССП и конфигурац. взаимодействия (КВ) рассчитаны кривые потенц. энергии гомоядерных двухатомных молекул элементов II и III периодов ( $B_2$  ÷  $Cl_2$ ) и их однозарядных положит. ионов. В расчетах использованы базисные наборы слэтеровских ф-ций ( $6s5p3d2f$ ) и ( $8s6p3d2f$ ) для атомов II и III периодов соответственно. Пространство конфигураций включало все одно- и двукратные возбуждения валентной обо-

(412)

ср. 1983, 18, N 1

лочки хартри-фоковской конфигурации. Вклады 4-кратно возбужденных конфигураций в полную энергию оценивались с помощью приближенных соотношений Дэвидсона и Зигбана. Путем численного интегрирования урний Шрёдингера с полученными потенциалами определены колебательно-вращательные термы. Разложение энергий термов в ряд по степеням колебательных и вращательных квантовых чисел позволило получить значения спектроскопич. постоянных. Все расчетные энергии диссоциации занижены по сравнению с экспериментальными; средняя ошибка составила 56% для приближения ССП и 13% — для метода КВ с поправкой Зигбана. Для приближения ССП характерно систематич. занижение длин связей (в среднем на 0,04 Å), завышение частот колебаний (на 10—22%) и адиабатич. потенциалов ионизации (в среднем на 5%). Учет корреляции значительно уменьшает отклонение расчетных значений от экспериментальных.

А. В. Зайцевский

B<sub>2</sub>

1982

Dhwada Ken.

раствор. Ж. Chem. Phys., 1982,

Свет. носей. 77, N1, 424-428.

и E.

(ср. BeB; III)

B<sub>2</sub>

Ummeck 13987

1982

Okwada K.,

Кв. мех.

расчёт

колеб.  
постоянных

J. Chem. Phys., 1982,

76, N5, 2565-2568.



B2

Dmmuck 16283

1982

Meprus  
cb834

Painter G. S., Averill F.W.,  
Phys. Rev. B. Condens.  
Matter, 1982, 26, N4,  
781-790.

*B<sub>2</sub>*

1983

—18-Б27. Расчеты численным методом Хартри—Фока—Слейтера двухатомных молекул: дополнение. Numerical Hartree—Fock—Slater calculations on diatomic molecules: Addendum. Becke A. D. «J. Chem. Phys.», 1983, 78, № 7, 4787—4788 (англ.)

Ответ на замечания Б. И. Данлопа (см. пред. реф.). Данлоп утверждал, что отличия между величинами энергий диссоциации (ЭД), рассчитанными автором для молекул B<sub>2</sub>, C<sub>2</sub>, N<sub>2</sub>, CO, O<sub>2</sub> и F<sub>2</sub> численным методом Хартри—Фока—Слейтера (ХФС) и величинами ЭД, вычисленными Данлопом и сотр. для тех же самых молекул методом ЛКАО-Х $\alpha$ , связаны не с различием в базисах, а с отличающимся учетом эффектов спиновой поляризации. Автором в рамках численного метода ХФС рассчитаны ЭД с учетом спиновой поляризации, в том числе с вариацией 1s-орбиталей. Показано, что величины ЭД, рассчитанные в таком приближении численным методом ХФС, с точностью лучше, чем 0,1 эВ, согласуются с ЭД, рассчитанными методом ЛКАО-Х $\alpha$

*расчет*

*X, 1983, 19, N 18*

в базисах сгруппированных гауссовых функций, и обнаруженное Данлопом противоречие в результатах расчета ЭД методом ХФС с использованием различных базисов полностью устраняется. И. А. Тополь



B<sub>2</sub>

1983

Huxley P., Murrell J. N.

потемн. J. Chem. Soc., Faraday

Ф-ия  
основн.  
евей.

Trans 2 1983, 79 (2),  
323-328.

(сч. Li; III)

B<sub>2</sub>

1984

Politzer Peter.

расчёт

J. Chem. Phys., 1984,  
80, N1, 380-382.

E

метод  
систем

● (сер. Лиз; III)

B<sub>2</sub>

1985

Гусеймов И.И., Мурза-  
лов Т.М. и др.

теор. множеств. рождение и  
развит. структура молекулы.  
Баку, 1985, 65-66.

● (св. Вез; III)

$B_2$

1985

3 Д144. Двумерные, полностью численные молекулярные расчеты. IV. Результаты расчетов методом Хартри — Фока — Слэтера двухатомных молекул, включающих атомы второго периода. Two-dimensional, fully numerical molecular calculations. IV. Hartree-Fock-Slater results on second-row diatomic molecules. Laaksonen Leif, Sundholm Dage, Pyykkö Pekka. «Int. J. Quantum Chem.», 1985, 27, № 5, 601—612 (англ.)

Полностью численным методом Хартри — Фока — Слэтера, предложенным ранее (см. «J. Chem. Phys.», 1982, 76, 6037), проделаны двумерные расчеты молекул  $B_2$ ,  $C_2$ ,  $N_2$ ,  $CO$ ,  $O_2$ ,  $F_2$  и  $BF$ . Найдены полные и орбитальные энергии, равновесные длины связей, энергии диссоциации, квадрупольные моменты и ф-ции дипольного момента. Выполнено несколько тестов по оценке влияния неполноты используемых базисов на точность неэмпирич. расчетов и даны критерии оценки точности проводимых расчетов. Ч. III «Chem. Phys. Lett.», 1983, 96, 1. Библ. 21. А. И. К.

расчет  
структуры

⊗ (+6)

ср. 1986, 18, №3

$B_2$

1985

4 Б1042. Численные молекулярные расчеты в двумерном пространстве. IV. Результаты расчетов двухатомных молекул, образованных элементами второго периода, методом Хартри — Фока — Слейтера. Two-dimensional, fully numerical molecular calculations. IV. Hartree — Fock — Slater results on second-row diatomic molecules. Laaksonen Leif, Sundholm Dage, Pyykkö Pekka. «Int. J. Quantum Chem.», 1985, 27, № 5, 601—612 (англ.)

расчет  
структурк

Методом Хартри — Фока — Слейтера (ХФС) с численным интегрированием двумерного уравнения Шредингера с  $X \alpha$ -потенциалом в системе эллиптических координат рассчитаны полные и орбитальные электронные энергии, спектроскопические постоянные, вириальное отношение и некоторые одноэлектронные свойства молекул  $B_2$ ,  $C_2$ ,  $N_2$ ,  $CO$ ,  $O_2$ ,  $F_2$  и  $BF$  в основном электронном состоянии. Результаты расчетов сопоставлены с известными литературными данными аналогичных расчетов свойств вышеуказанных молекул методом ЛКАО-Х  $\alpha$  в базисе сгруппированных

17(6)

X.1986, 19, 14

гауссовых ф-ций. Установлено, что ошибка, обуслов-  
ленная ограниченностью базиса в приближении ЛКАО-  
 $X \alpha$ , для исследованных молекул проявляется в треть-  
ем знаке после запятой (в ат. ед.) для полной энергии  
и в четвертом знаке после запятой для орбитальных  
энергий соотв. Исследованы также обусловленные ко-  
нечным базисом ошибки в величинах равновесных рас-  
стояний и электронных мультипольных моментов.  
Сообщ. 3 см. «Chem. Phys. Lett.», 1983, 96, 1.

Н.  
Ч. О.

B<sub>2</sub>

1985

[ 103: 11723] Two-dimensional, fully numerical molecular calculations. IV. Hartree-Fock-Slater results on second-row diatomic molecules. Laaksonen, Leif; Sundholm, Dage; Pyykko, Pekka (Dep. Phys. Chem., Abo Akad., 20500 Turku, Finland). *Int. J. Quantum Chem.* 1985, 27(5), 601-12 (Eng). For B<sub>2</sub>, C<sub>2</sub>, N<sub>2</sub>, CO, O<sub>2</sub>, and BF, total and orbital energies, dissocn. energies, bond lengths, and electronic expectation values and moments were obtained in the described two-dimensional Hartree-Fock-Slater calcs. Basis-set truncation errors are discussed. Comparisons are made with other existing calcs. Improved accuracy in the dissocn. energies, bond lengths, and electronic multipole moments was obtained, which can be used in future assessment of basis set errors.

meop.  
pacrim

(+5) ~~17~~

C.A. 1985, 103, N 2

B<sub>2</sub>

(OM-31102)

1985

Raghavachari K.,

Do;

J. Chem. Phys., 1985,  
82, N10, 4607 - 4610.

B<sub>2</sub>

[om. 21456]

1985

Rozendaal A., Baerends E.J.;

meep.  
pacem  
M.N.

Chem. Phys., 1985, 95,  
N1, 57-91.

B<sub>2</sub>

1985

Schmidt M.W., Lam

M.T. Brenda, et al.

Расчет  
основного  
и ряда  
возбуж-  
денных  
состоян.

Theor. chim. acta,  
1985, 68, N1, 69-86.

● (с. М<sub>2</sub>; III)

B<sub>2</sub>

1986

Becke A.D.

meop.  
pacem  
Ze, We, De  
oem.  
coeur.

Phys. Rev. A: Gen. Phys.  
1986, 33 (4), 2786-8.

(see. M<sub>2</sub>; III)

B<sub>2</sub>

1986.

Thakkar Ajit J.,  
Sharma B. S., et al.

खुल.  
एवम् ३६

J. Chem. Phys. 1986,  
85(5), 2845-9.

(C. L. Liq; III)

$B_2^{K+}$

23273

1986

Wells B.H., Wilson S.

Расчет  
низко-  
лежащ.  
электрон.

состоян.  
 $H_2^+$ ,  $HeH^+$

и т.д. кор. г.д.  $B_2$

J. Phys. B: Atom.  
and Mol. Phys., 1986,  
19, N1, 17-32.

(см.  $H_2^+$ ; III)

$B_2$

О.т. 25528!

1987

➤ 5 Д71. Природа основного состояния  $B_2$ ,  $C_2$ ,  $N_2$  в методе аппроксимирующего квазичастичного функционала плотности. Безносюк С. А., Минаев Б. Ф., Кульжанов А. Т., Мулдахметов З. М. «Докл. АН СССР», 1987, 292, № 2, 379—383

Неэмпирическим методом аппроксимирующего квази-частичного функционала плотности проведен вариационный расчет основного состояния молекул  $B_2$ ,  $C_2$ ,  $N_2$  в диапазоне длин связи ( $R$ )  $1,5 \div 10 a_0$ . Обнаружена перестройка электронной структуры молекул  $B_2$  и  $C_2$  в окрестности равновесной длины связи. Электронный, «фазовый» переход в основном состоянии этих молекул классифицирован как переход Мотта с изменением

(М.П.)

(+2)

ф. 1987, 18, № 5

типа электронной корреляции по известной схеме: электронная «жидкость» ( $\alpha$ -терм) — электронный «кристалл» ( $\beta$ -терм). Для молекулы  $B_2$  основное триплетное состояние в области минимума энергии соответствует  $\alpha$ -терму. При укорочении длины  $R$  связи на  $0,2 a_0$  относительно  $R_0$  происходит  $\alpha \rightarrow \beta$  трансформация основного состояния, причем  $\beta$ -терм идентифицирован как триплетный бирадикал. В случае  $C_2$   $\alpha$ -,  $\beta$ -термы — синглеты,  $\beta$ -терм идентифицирован как бирадикал с антиферромагн. порядком локализованных спинов. Для молекулы  $N_2$  основное состояние соответствует синглетному  $\alpha$ -терму. Рассчитанные значения равновесных параметров молекул  $B_2$ ,  $C_2$ ,  $N_2$  хорошо согласуются с экспериментом. Обсуждена химическая реакционная способность молекул  $B_2$  и  $C_2$  в связи с  $\alpha$ — $\beta$ -трансформациями их основного состояния. Автореферат

B<sub>2</sub>

Am. 25528

1987

106: 220218z Nature of the ground states of diatomic boron, diatomic carbon, and molecular nitrogen obtained using the approximate quasiparticle density functional method. Beznosyuk, S. A.; Minaev, B. F.; Kul'zhanov, A. T.; Muldakhmetov, Z. M. (Karagand. Univ., Karaganda, USSR). *Dokl. Akad. Nauk SSSR* 1987, 292(2), 379-83 [Phys. Chem.] (Russ). The ground-state energies of B<sub>2</sub>, C<sub>2</sub>, and N<sub>2</sub> were calcd. by the approx. quasiparticle d. functional method (B. and V. P. Fadin, 1980). The calcd. ground-state dissociation energy, equil. interat. distance, and zero-point vibrational frequency of B<sub>2</sub>, C<sub>2</sub>, and N<sub>2</sub> are compared with Hartree-Fock and MC-SCF calcns. as well as with exptl. data. The results agree well with expt. data. The ground state is represented by intersecting triplet  $\alpha$ - and  $\beta$ -type states for B<sub>2</sub>, by superimposing singlet  $\alpha$ - and  $\beta$ -type states for C<sub>2</sub>, and by  $\alpha$ -type state for N<sub>2</sub>, where  $\alpha$  and  $\beta$  correspond to electron-liq.- and Wigner-type correlation.

моп. паarem  
оч. соcmорк.

(72)

C.A. 1987, 106, N 26

B<sub>2</sub>

Осн. 25528

1987

⊕13 Б1031. Природа основного состояния B<sub>2</sub>, C<sub>2</sub>, N<sub>2</sub><sup>+</sup> в методе аппроксимирующего квазичастичного функционала плотности. Безносюк С. А., Минаев Б. Ф., Кульжанов А. Т., Мулдахметов З. М. «Докл. АН СССР», 1987, 292, № 2, 379—383

основн.  
состоян.

(42) ⊗

X. 1987, 19, N 13

B<sub>2</sub>

1987

У 7 Л179. Возбужденные колебательные уровни основного состояния молекулы B<sub>2</sub>: переход A<sup>3</sup>Σ<sub>u</sub><sup>-</sup>—X<sup>3</sup>Σ<sub>g</sub><sup>-</sup>. Excited vibrational levels of the ground state of B<sub>2</sub>: the A<sup>3</sup>Σ<sub>u</sub><sup>-</sup>—X<sup>3</sup>Σ<sub>g</sub><sup>-</sup> transition. Bredohl H., Dubois I., Mélen F. «J. Mol. Spectrosc.», 1987, 121, № 1, 128—134 (англ.)

С высоким разрешением получены спектры испускания A<sup>3</sup>Σ<sub>u</sub><sup>-</sup>—X<sup>3</sup>Σ<sub>g</sub><sup>-</sup>, 0—v'' (v=12÷15) молекулы <sup>11</sup>B<sub>2</sub>. Вращательный анализ полос позволил более точно, чем в предшествующих работах, определить колебательные и вращательные постоянные состояния X<sup>3</sup>Σ<sub>g</sub><sup>-</sup>. Авторы не смогли объяснить отсутствия в спектре полос с 4 < v'' < 12, но высказали предположение, что этот факт вызван возмущением состояниями X<sup>3</sup>Σ<sub>g</sub><sup>-</sup> состояниями <sup>3</sup>Π<sub>u</sub> или <sup>1</sup>Π<sub>u</sub>.

М. А.

М. А.

ф. 1987, 18, № 7

$B_2$

1987

13 Б1198. Возбужденные колебательные уровни основного состояния  $B_2$ . Переход  $A^3\Sigma_u^- - X^3\Sigma_g^-$ . Excited vibrational levels of the ground state of  $B_2$ : The  $A^3\Sigma_u^- - X^3\Sigma_g^-$  transition. Bredohl H., Dubois I., Mélen F. «J. Mol. Spectrosc.», 1987, 121, № 1, 128—134 (англ.)

Выполнен анализ вращат. структуры полос 0—12, 0—13, 0—14 и 0—15 перехода  $A^3\Sigma_u^- - X^3\Sigma_g^-$  в спектре испускания молекулы  $B_2$ , возбуждаемом в микроволновом разряде через смесь He (2 мм) со следами  $BCl_3$ . Значения  $\nu_0$ ,  $B'$ ,  $D'$  ( $\cdot 10^6$ ),  $B''$ ,  $D''$  ( $\cdot 10^6$ ) (в  $cm^{-1}$ ): полосу 0—12—19014,323; 1,16568; 6,32; 1,00114; 7,04; 0—13—18211,093; 1,16392; 4,84; 0,98563; 5,09; 0—14—17423,081, 1,16616; 6,41; 0,97502; 6,88; 0—15—16649,825; 1,16526; 5,66; 0,96111; 6,35. Равновесные молек. постоянные  $B_2$  (в  $cm^{-1}$ ): состояние  $X^3\Sigma_g^- - \omega_e = 1059,68$ ,  $\omega_e x_e = 15,66$ ,  $\omega_e y_e = 1,489$ ,  $\omega_e z_e = 0,0687$ ,  $B_e = 1,2211$ ,  $\alpha_e = 0,02102$ ,  $\gamma_e = 2,75 \cdot 10^{-4}$ ,  $D_e = 6;55 \cdot 10^{-6}$ ; состояние  $A^3\Sigma_u^- - T_e = 30576,66$ ,  $\omega_e = 937,22$ ,  $\omega_e x_e = 2,59$ ,  $B_e = 1,1689$ ,  $\alpha_e = 0,01439$ ,  $D_e = 6,95 \cdot 10^{-6}$ . В. М. Ковба

М.П.

X. 1987, 19, N 13

B<sub>2</sub>

(Om. 25844)

1987

возбуден.  
концам.  
уровни  
основн.  
состоян.,  
A<sup>3</sup>Σ<sub>u</sub><sup>-</sup> - X<sup>3</sup>Σ<sub>g</sub><sup>-</sup>

Bredohl H., Dubois J.,  
Mélen F.,

J. Mol. Spectrosc.,  
1987, 121, N1, 128-134



$^{11}\text{B}_2$

1987

106: 75305u Excited vibrational levels of the ground state of diatomic boron: the  $A^3\Sigma_u^- - X^3\Sigma_g^-$  transition. Bredohl, H.; Dubois, I.; Melen, F. (Inst. Astrophys., Univ. Liege, B-4200 Cointe-Liege, Belg.). *J. Mol. Spectrosc.* 1987, 121(1), 128-34 (Eng). A better description of the electronic ground state of  $^{11}\text{B}_2$  was obtained from the rotational anal. of 4  $0-v''$  bands ( $v'' = 12-15$ ) of the  $A^3\Sigma_u^- - X^3\Sigma_g^-$ .

$A^3\Sigma_u^- - X^3\Sigma_g^-$

$v'' \leq 15$

Франц  
Ананы

C.A. 1987, 106, N 10

B<sub>2</sub>

[Om. 26905]

1987

Knight L.B., Jr.,

Gregory B.W., et al.,

J. Amer. Chem. Soc.,

1987, 109, N 12, 3521-3525.

спектр

в

лампе,

с атом.

сpectrum.

ab initio

расчетами

B<sub>2</sub>

1987

Semerov S. G.

Vestn. Leningr. Univ.,

Ser. 4: Fiz. Khim.

1987, (4), 102-4.

ab initio  
pacrim

( $\bullet$ ,  $M_2^+$ ;  $\text{III}$ )

1989

$B_2^+$

$B_2$

М.П.

24 Б1054. Сильносвязанные многократно возбужденные состояния  $B_2^+$  и  $B_2$ . Strongly bound multiply excited states of  $B_2^+$  and  $B_2$  / Bruna Pablo J., Wright James S. // J. Chem. Phys.— 1989.— 91, № 2.— С. 1126—1136.— Англ.

Методом конфигурац. вз-вия в расширенном базисе АО трехэкспонентного типа, дополненном  $d$ -функциями и в ряде случаев диффузными  $s$  и  $p$ -функциями, рассчитаны низколежащие электронные состояния молекул  $B_2^+$  и  $B_2$ . Расчеты охватывают область межъядерных расстояний от 2,5 до 5 ат. ед. и выполнены для  $\Sigma$ ,  $\Pi$  и  $\Delta$  состояний, отвечающих трем низшим диссоциац. пределам иона  $B_2^+$ ; в случае  $B_2$  рассмотрены лишь двукратно возбужденные к основному состояния. Для всех состояний оценены молек. постоянные  $T_e$ ,  $R_e$ ,  $\omega_e$  и  $D_e$ . В случае иона основным является состояние  $^2\Sigma_g^+$  ( $R_e = 4,015$  ат. ед.,  $\omega_e = 423$  см<sup>-1</sup>,  $D_e = 1,94$  эВ), а первое возбужденное состояние с  $T_e = 0,3$  эВ имеет тип  $^2\Pi_u$ . Подробно обсужден конфигурац. состав волновых ф-ций и его влияние на молек. постоянные. В. И. Пупышев

X. 1990, № 24

1989

111: 181136c Strongly bound multiply excited states of the boron diatomic ion( $1+$ ) and the boron dimer. Bruna, Pablo J.; Wright, James S. (Ottawa-Carleton Chem. Inst., Carleton Univ., Ottawa, ON Can. K1S 5B6). *J. Chem. Phys.* 1989, 91(2), 1126-36 (Eng). The potential curves, transition energies ( $T_e$ ), and spectroscopic consts. ( $R_e$ ,  $\omega_e$ ) of several low-lying electronic states of  $B_2^+$  and selected doubly excited states of  $B_2$  are given. The data were obtained by using a multiref. single- and double-excitation (MRSD) CI approach and a triple-zeta-plus polarization AO basis set. The  $B_2^+$  ground state, which is  $X^2\Sigma_g^+$ , shows a rather shallow potential curve ( $R_e = 4.015$  bohr,  $\omega_e = 423$   $\text{cm}^{-1}$ ) when compared with that of  $X^3\Sigma_g^-$  of  $B_2$  ( $R_e = 3.00$  bohr,  $\omega_e = 1051$   $\text{cm}^{-1}$ , exptl.). The 1st excited state of  $B_2^+$ , namely  $1^2\Pi_u$ , lies at  $T_e = 0.30$  eV. Moreover, double excitations relative to  $X^2\Sigma_g^+$  are essential for the description of a large no. of excited states, such as  $\sigma_u\sigma_g \rightarrow \pi_u^2(1^4\Sigma_u^-, 1^2\Sigma_u^-, 1^2\Delta_u, 1^2\Sigma_u^+)$  and  $\sigma_u^2 \rightarrow \pi_u^2(1^4\Sigma_g^-, 1^2\Delta_g, 1^2\Sigma_g^+)$ . Similarly,  $2^2\Pi_u$  arises from the triple excitation  $\sigma_u^2\sigma_g \rightarrow \pi_u^3$ . In the same order as given above, such multiple excitations lead to a significant gain in bond strength (i.e., shorter  $R_e$ , larger  $\omega_e$ ) as a result of the simultaneous depopulation and population of strongly antibonding and bonding MOs, resp. For neutral  $B_2$ , similar features were obsd. for the excitation  $\sigma_u^2 \rightarrow \pi_u^2$  relative to  $X^3\Sigma_g^-$  (leading to  $3^1\Sigma_g^+$ ) and  $1^3\Pi_u$  (leading to  $2^3\Pi_u$ ). As a

$B_2$   
 $B_2^+$   
 $B_2$

M.A., Ed. Mex.  
 Pacem

C.A. 1989, 111, N20

result of the loss of the 2  $\pi_u$  electrons, the ground state dissociation energy ( $D_e$ ) of  $B_2^+(X^2\Sigma_g^+)$ , with a calculated value of 1.94 eV, is  $\sim 1.12$  eV smaller than the experimental  $D_e$  of  $B_2(X^3\Sigma_g^-)$ .

$B_2$

1989

20 Б1034. Неэмпирический расчет постоянных сверхтонкого взаимодействия для  $B_2$ . Ab initio calculation of the hyperfine coupling constants in  $B_2$  / Carmichael Ian // J. Chem. Phys.— 1989.— 91, № 2.— С. 1072—1078.— Англ.

В расширенном трехэкспонентном базисе ОГТ [14s9p4d1f/8s5p4d1f] неограниченным методом Хартри—Фока с послед. использованием связанных кластерных разложений или конфигурац. взаимодействия рассчитаны изотропная и дипольная постоянные  $A_{iso}$  и  $A_{dip}$  сверхтонкого взаимодействия для состояния  $x^3\Sigma_g^-$  молекулы  $B_2$  при равновесной геометрии. Найдено, что для  $A_{dip}$  удовлетворит. результаты получаются уже в методе ССП (14,4, при эксперим. оценке — 13 Мгц). Изотропная постоянная получена двумя способами; при этом отмечено, что помимо корреляции необходимо учитывать влияние колебаний из-за сильной зависимости этой величины от межядерного расстояния, при этом  $A_{iso} = 14,1$  (эксперим. 15 Мгц). П. В. Ганелин

М.П.

X.1990, N20

$B_2$

1989

17 Б1051. Неэмпирический расчет постоянных сверхтонкого взаимодействия в  $B_2$ . Ab initio calculation of the hyperfine coupling constants in  $B_2$  / Carmichael I. // J. Chem. Phys.— 1989.— 91, № 2.— С. 1072—1078.— Англ.

На базе традиц. вариацион. методов и методов теории возмущений с использованием неограниченного метода ССП и поправок на связанные кластеры разных порядков исследована молекула  $B_2$  в состояниях  $^3\Sigma_g^-$  и  $^5\Sigma_u^-$ . Приведены значения молек. постоянных, особое внимание уделено величинам изотропной и дипольной констант сверхтонкого взаимодействия, их зависимости от межъядерного расстояния и от метода учета корреляции.

В. И. Пупышев

М.А.

X. 1990, N 17

B<sub>2</sub>

(DM-32740)

1989

Dingle T. W., Muzinaga S.,  
et al.,

(35-)  
(29) J. Comput. Chem. 1989, 10,  
N6, 753-769.

Contraction of the Well-  
Tempered • Gaussian Basis

Sets: The First-Row  
Diatomic Molecules.

B<sub>2</sub><sup>4-</sup>

от 32488

1989

1) 4 Б1016. Неэмпирическое изучение тенденций связывания в 14-электронных двухатомных системах от B<sub>2</sub><sup>4-</sup> до F<sub>2</sub><sup>4+</sup>. Ab initio study of bonding trends among the 14-electron diatomic systems: from B<sub>2</sub><sup>4-</sup> to F<sub>2</sub><sup>4+</sup> / Pyykkö P. // Mol. Phys.— 1989.— 67, № 4.— С. 871—878.— Англ.

Методом ССП в базе сгруппированных гауссовых ф-ций 6—31 ГФ\* рассчитаны низшие синглетные состояния 14-электронных двухатомных систем, включающих от Н до Сl. Для 32 систем на потенциальных кривых обнаружены локальные минимумы. Определены равновесные межъядерные расстояния и колебат. частоты. Результаты сопоставлены с имеющимися эксперим. данными и с данными предшествовавших расчетов. Для 13 систем (B<sub>2</sub><sup>4-</sup>, BC<sub>3</sub><sup>3-</sup>, BeC<sub>4</sub><sup>4-</sup>, BeN<sub>3</sub><sup>3-</sup>, BeO<sub>2</sub><sup>2-</sup>, BeNa<sup>+</sup>, BeMg<sup>2+</sup>, FO<sub>3</sub><sup>+</sup>, F<sub>2</sub><sup>4+</sup>, HeP<sup>3+</sup>, HeS<sup>4+</sup>, LiMg<sup>+</sup> и NNe<sup>3+</sup>) данные получены впервые. Для указанных положит. ионов, а также для ряда карбидов с помощью теории возмущений Меллера—Плессета 2-го порядка рассчитана корреляц. поправка к энергии. А. А. Сафонов

М.Л.



(412)

X.1990, N4

B<sub>2</sub>

(Om 32042)

1989

meopen.  
pacem

/ 111:45514x Strongly bound doubly excited states of diatomic molecules. Wright, James S.; Bruna, Pablo J. (Ottawa-Carleton Chem. Inst., Carleton Univ., Ottawa, ON Can. K1S 5B6). *Chem. Phys. Lett.* 1989, 156(5), 533-5 (Eng). Theor. calcns. are given which show the existence of strongly bound doubly excited states. These states show significant decreases in  $R_c$  and increases in  $\omega_c$  compared to the ground state. Examples include B<sub>2</sub> and B<sub>2</sub><sup>+</sup>, but the discussion is general and may lead to the discovery of many such states.

~~(41)~~ B<sub>2</sub><sup>+</sup>

C.A. 1989, 111, N6

B<sub>2</sub><sup>+</sup>

DM 32042)

1989

~~Wright James S.,~~

Berna Pablo J.

meopem.  
pacrêm

Chem. Phys. Lett.

1989, 156 (5), 533-5.

●  
(cell. B<sub>2</sub>; III)

Вз

DM-33950

1990

Бессонова С.М., Френ-  
Кельштейн А.И.

Оценка

и.п.

Ил. прик. спектро-  
скопее 1990, 52, N3,  
451-454.

Om. 35061

1990

B<sub>2</sub>

B<sub>2</sub><sup>+</sup>, B<sub>2</sub><sup>-</sup>, B<sub>2</sub><sup>2+</sup>

114:59243n Doubly excited states of diatomic boron molecule and ions (B<sub>2</sub>, B<sub>2</sub><sup>+</sup>, B<sub>2</sub><sup>2+</sup> and B<sub>2</sub><sup>-</sup>). Bruna, Pablo J.; Wright, James S. (Ottawa-Carleton Chem. Inst., Carleton Univ., Ottawa, ON Can. K1S 5B6). *THEOCHEM* 1990, 69, 243-52 (Eng). Extensive multireference (single and) double configuration-interaction (MRD-CI) calcns. carried out on B<sub>2</sub>, B<sub>2</sub><sup>+</sup> and B<sub>2</sub><sup>2+</sup> predict the existence of several doubly excited states generated by the excitation  $\sigma_u^2 \rightarrow \pi_u^2 \rightarrow \sigma_g \pi_u$ . The abundance of these strongly bound mol. states having short R<sub>e</sub> and high  $\omega_e$  results from the fact that the first excited at. states are of the type sp<sup>2</sup> (B) and sp (B<sup>+</sup>). In the dication B<sub>2</sub><sup>2+</sup>, double excitation is essential for the existence of several metastable states, some of them with deep potential wells (e.g. 2.83 eV for 1<sup>3</sup>Σ<sub>g</sub><sup>-</sup>). The anion B<sub>2</sub><sup>-</sup> shows no less than eight stable states below neutral B<sub>2</sub>; here, the doubly excited states are resonant. Photodetachment from X<sup>4</sup>Σ<sub>g</sub><sup>-</sup>[(σ<sub>g</sub><sup>2</sup>σ<sub>u</sub><sup>2</sup>)σ<sub>g</sub>π<sub>u</sub><sup>2</sup>] of B<sub>2</sub><sup>-</sup> should be instrumental for the exptl. characterization of the relative stabilities of X<sup>3</sup>Σ<sub>g</sub><sup>-</sup>(σ → ∞), 1<sup>5</sup>Σ<sub>u</sub><sup>-</sup>(σ<sub>u</sub> → ∞) and 1<sup>3</sup>Π<sub>u</sub>(π<sub>u</sub> → ∞) in neutral B<sub>2</sub>. Several optical transitions are proposed for future exptl. studies of the doubly excited states presented in this work. In the case of B<sub>2</sub><sup>-</sup>, photodetachment from stable states of type (σ<sub>g</sub><sup>2</sup>σ<sub>u</sub>)σ<sub>g</sub><sup>m</sup>π<sub>u</sub><sup>n</sup> (with m = n = 4) may play an important role in the exptl. detection of several strongly bound states of B<sub>2</sub>.

M.A.

неоп. паэвн

C.A. 1991, 114, N8

DM 35 061

1990

3 Д115. Дважды возбужденные состояния  $B_2$ ,  $B_2^+$ ,  $B_2^{2+}$  и  $B_2^-$ . Doubly excited states of  $B_2$ ,  $B_2^+$ ,  $B_2^{2+}$  and  $B_2^-$  / Bruna Pablo J., Wright James S. // J. Mol. Struct. Theochem.— 1990.— 210.— С. 243—252.— Англ.

Методом НИК-КВ с учетом однократных и двойных возбуждений исходных конфигураций проведены расчеты  $B_2$ ,  $B_2^+$  и  $B_2^{2+}$ . Предсказано существование нескольких ~~дважды~~ возбужденных состояний, образованных при возбуждении  $\sigma_u^2 \rightarrow \pi_u^2$  или  $\sigma_u^2 \rightarrow \sigma_g \pi_u$  и обусловленных тем фактом, что первые возбужденные атомные состояния имеют тип  $sp^2$  (В) и  $sp$  ( $B^+$ ). Указанные сильно связанные молекулярные состояния имеют короткие  $R_e$  и высокие  $\omega_e$ . В  $B_2^{2+}$  двойные возбуждения приводят к существованию нескольких метастабильных состояний, некоторые из них с глубокими потенц. минимумами (напр., 2,83 эВ для  $1^3\Sigma_g^-$ ). В анионе  $B_2^-$  обнаружено не менее 8 стабильных состояний, ниже, чем состояние  $B_2$ . В этом анионе обнаружены резонансные дважды возбужденные состояния.

Н. В. В.

 $B_2$  $B_2^+$ ,  $B_2^{2+}$ 

М.А.

ср. 1991, №3

B<sub>2</sub>

Дм. 33761

1990

20 Б1035. Теоретическое изучение потенциалов ионизации B<sub>2</sub>. Theoretical study of the ionization potentials of B<sub>2</sub> / Bruna Pablo J., Wright James S. // J. Phys. Chem.— 1990.— 94, № 5.— С. 1774—1781.— Англ.

В трех базисах гауссовых орбиталей методом конфигурац. взаимодействия с учетом одно- и двукратных возбуждений относительно исходного набора конфигураций рассчитаны потенциальные кривые состояний типа  $2,4\Sigma_u^-$ ,  $4\Sigma_g^-2\Sigma_g^+$ ,  $2\Pi_u$ ,  $4\Pi_g$  молекулы B<sub>2</sub><sup>+</sup> и состояний  $1^3\Pi_u$ ,  $1^5\Sigma_u^-$ ,  $X^3\Sigma_g^-$  молекулы B<sub>2</sub>. Найдено, что основным состоянием молекулы B<sub>2</sub><sup>+</sup> является  $\Sigma_g^+$  с близким по энергии первым возбужденным состоянием  $2\Pi_u$  ( $T_e=0,25$  эВ) в отличие от полученного ранее экспериментально и теоретически обратного расположения уровней [Hanley L., Anderson S. L., Whitten I. L. // J. Chem. Phys.— 1988.— 92.— С. 5803]. Приведены значения  $R_e$ ,  $\omega_e$  и  $D_e$  для этих состояний и основного

М.П.

X.1990, №20

состояния  $B_2$ . Рассчитаны вертикальные и адиабатич. ПТ ионизации из трех нижних состояний  $B_2$  в различные конечные состояния, а также соответствующие значения факторов Франка — Кондона. Отмечено, что для проверки расчета необходимы дополнит. эксперим. результаты.

П. В. Ганелин

B<sub>2</sub>

DM 33761

1990

112: 125540p Theoretical study of the ionization potentials of boron dimer. Bruna, Pablo J.; Wright, James S. (Ottawa-Carleton Chem. Inst., Carleton Univ., Ottawa, ON Can. K1S 5B6). *J. Phys. Chem.* 1990, 94(5), 1774-81 (Eng). Extensive MRD-CI calcns. carried out with a contracted 6s5p2d1f Gaussian basis set indicate that B<sub>2</sub><sup>+</sup> has a X<sup>2</sup>Σ<sub>g</sub><sup>+</sup> (σ<sub>g</sub><sup>2</sup>σ<sub>u</sub><sup>2</sup>σ<sub>g</sub>) ground and a low-lying I<sup>2</sup>Π<sub>u</sub>(σ<sub>g</sub><sup>2</sup>σ<sub>u</sub><sup>2</sup>π<sub>u</sub>) state (T<sub>e</sub> = 0.25 eV). The computed disocn. energies D<sub>e</sub> are 1.90 eV for X<sup>2</sup>Σ<sub>g</sub><sup>+</sup> and 1.65 eV for I<sup>2</sup>Π<sub>u</sub>. The adiabatic ionization potentials (IP) of B<sub>2</sub> from X<sup>3</sup>Σ<sub>g</sub><sup>-</sup>(σ<sub>g</sub><sup>2</sup>σ<sub>u</sub><sup>2</sup>π<sub>u</sub><sup>2</sup>) into X<sup>2</sup>Σ<sub>g</sub><sup>+</sup>(π<sub>u</sub><sup>2</sup> → σ<sub>g</sub>, ∞) and into I<sup>2</sup>Π<sub>u</sub>(π<sub>u</sub> → ∞) are 8.99 and 9.24 eV, resp.; both results are expected to underestimate the true values by about 0.15 eV. The present data do not support recent exptl. and ab initio results from Hanley, et al., (1988). Those authors reported a <sup>2</sup>Π<sub>u</sub> ground state, with a D<sub>e</sub> of 0.8 ± 0.6 eV (0.7 eV) and an adiabatic IP (X<sup>3</sup>Σ<sub>g</sub><sup>-</sup> → <sup>2</sup>Π<sub>u</sub>) of 10.3 eV (8.9 eV), with values in parentheses corresponding to their ab initio results. Since the photoelectron spectrum of B<sub>2</sub> (not yet recorded to our knowledge) represents a valuable and alternative exptl. technique for the spectroscopic characterization of low-lying states of B<sub>2</sub><sup>+</sup>, the IP's are investigated here for one-electron ionization processes having X<sup>3</sup>Σ<sub>g</sub><sup>-</sup>, I<sup>5</sup>Σ<sub>u</sub><sup>-</sup>, and I<sup>3</sup>Π<sub>u</sub> of B<sub>2</sub> as lower state. The corresponding Franck-Condon factors are also reported.

I<sub>0</sub>, D<sub>0</sub>;  
parent

C.A. 1990, 112, N14

B<sub>2</sub>

DM 33761

1990

8 Д117. Теоретическое исследование потенциалов ионизации B<sub>2</sub>. Theoretical study of the ionization potentials of B<sub>2</sub> / Bruna Pablo J., Wright James S. // J. Phys. Chem.— 1990.— 94, № 5.— С. 1774—1781.— Англ.

Расчеты, проведенные в рамках метода НИК—КВ в сгруппированном гауссовском базисе 6s5p2d1f, показа-

ли, что ион B<sub>2</sub><sup>+</sup> имеет основное состояние X<sup>2</sup>Σ<sub>g</sub><sup>+</sup>(σ<sub>g</sub><sup>2</sup>σ<sub>u</sub><sup>2</sup>σ<sub>g</sub>) и низколежащее состояние 1<sup>2</sup>Π<sub>u</sub>(σ<sub>g</sub><sup>2</sup>σ<sub>u</sub><sup>2</sup>π<sub>u</sub>) (T<sub>c</sub>=0,25 эВ). Рассчитаны энергии диссоциации: 1,90 эВ для X<sup>2</sup>Σ<sub>g</sub><sup>+</sup> и 1,65 эВ для 1<sup>2</sup>Π<sub>u</sub>. Потенциалы адиабатич. ионизации B<sub>2</sub> из X<sup>3</sup>Σ<sub>g</sub><sup>-</sup> в X<sup>2</sup>Σ<sub>g</sub> и в 1<sup>2</sup>Π<sub>u</sub> составляют 8,99 и 8 9,24 эВ соответственно. Предполагается, что оба эти результата завышены на ~0,15 эВ. Получены потенциалы ионизации для одно-электронных процессов ионизации, имеющих низшие состояния X<sup>3</sup>Σ<sub>g</sub><sup>-</sup>, 1<sup>5</sup>Σ<sub>g</sub><sup>-</sup> и 1<sup>3</sup>Π<sub>u</sub> молекулы B<sub>2</sub>. Определены соответствующие факторы Франка—Кондона.

Н. В. В.

(9)

ф. 1990, № 8

B<sub>2</sub><sup>-</sup>

M 34357

1990

113: 13S752e Electronic structure of the boron (B<sub>2</sub>) radical. Bruna, Pablo J.; Wright, James S. (Ottawa-Carleton Chem. Inst., Carleton Univ., Ottawa, ON Can. K1S 5B6). *J. Phys. B: At., Mol. Opt. Phys.* 1990, 23(13), 2197-215 (Eng). The stability and structure of 10 states of B<sub>2</sub><sup>-</sup> have been investigated with highly correlated MRD-CI wavefunctions. This radical possesses the largest no. of stable states (pos. electron affinity) so far reported for a diat. anion: no less than eight states lie below B<sub>2</sub>. The B<sub>2</sub><sup>-</sup> ground state is X<sup>4</sup>Σ<sub>g</sub><sup>-</sup>[(σ<sub>u</sub>)<sup>2</sup>σ<sub>g</sub>π<sub>u</sub><sup>2</sup>]. Two other quartets are also stable with T<sub>e</sub> values of 1.22 and 1.63 eV, resp. The predicted lifetimes τ<sub>0</sub> for the transitions X<sup>4</sup>Σ<sub>g</sub><sup>-</sup> ← 1<sup>4</sup>Σ<sub>u</sub><sup>-</sup>(σ<sub>g</sub> → σ<sub>u</sub>) and 1<sup>4</sup>Π<sub>g</sub> ← 1<sup>4</sup>Σ<sub>u</sub><sup>-</sup>(σ<sub>g</sub> → π<sub>u</sub>) are 195 ns and 19 μs, resp. In the case of doublet states, all have the same configuration as X<sup>4</sup>Σ<sub>g</sub><sup>-</sup>.

М.А. В

10 экзempl.  
составл.,  
расчет

С. А. 1990, 113, N 16

$B_2^-$

DM 34357

1990

- 2 Б1021. Электронная структура радикала  $B_2^-$   
Electronic structure of the  $B_2^-$  radical / Bruna Pablo J.  
Wright James S. // J. Phys. B.— 1990.— 23, № 13.—  
С. 2197—2215.— Англ.

Рассчитаны потенциальные кривые 10 электронных состояний иона  $B_2^-$ . Волновые ф-ции получены методом конфигурац. взаимодействия (КВ) с учетом одно- и двукратных возбуждений по отношению к нескольким исходным конфигурациям. Используются процедуры отбора конфигураций и экстраполяции к полному КВ. Базис сгруппированных гауссовых ф-ций включал трехэкспонентные наборы Хузинаги — Даннинга, дополненные диффузными ф-циями  $s$ - и  $p$ -типа и поляризац.  $d$ -ф-циями (а также одной  $f$ -ф-цией при расчете энергий при равновесных расстояниях).  $B_2^-$  имеет по крайней мере 8 электронных состояний, устойчивых по отношению к отрыву электрона — больше, чем известно для любого др. двухатомного аниона. Основным явля-

М.П.

X. 1991, № 2

ется состояние  $4\Sigma_g^-$ . Рассчитаны спектроскопич. постоянные связанных состояний. Особое внимание уделено определению энергий диссоциации, энергий отрыва электрона, факторов Франка—Кондона и времен жизни состояний. Сопоставлена относит. стабильность низколежащих состояний иона  $\text{Br}_2^-$  и изовалентных ему  $\text{Al}_2^-$ ,  $\text{C}_2^+$  и  $\text{Si}_2^+$ . Библ. 65.

А. А. Сафонов

B<sub>2</sub><sup>-</sup>

Ом. 34357

1990

1 Д130. Электронная структура радикала B<sub>2</sub><sup>-</sup>.  
Electronic structure of the B<sub>2</sub><sup>-</sup> radical / Grupo Pablo J.,  
Wright James S. // J. Phys. B.— 1990.— 23, № 13.—  
С. 2197—2215.— Англ.

Методом КВ с включением процедуры экстраполя-  
ции проведен расчет 10 электронных состояний B<sub>2</sub><sup>-</sup>.  
Для расчета использованы различные базисы из сгруп-  
пированных гауссовых ф-ций с включением диффузных  
ф-ций. В качестве исходных МО для метода КВ  
использованы МО для состояния X<sup>4</sup>Σ<sub>g</sub><sup>-</sup> радикала B<sub>2</sub><sup>-</sup>.  
Показано, что по крайней мере 8 электронных состоя-  
ний B<sub>2</sub><sup>-</sup> лежат по энергии ниже основного электронно-  
го состояния B<sub>2</sub>. Наряду с энергетич. характеристиками  
рассчитаны также излучательные времена жизни. На  
основании полученных результатов дано описание про-  
цесса фотоприсоединения электрона к молекуле B<sub>2</sub>.  
Проведено также сравнение электронной структуры  
иона B<sub>2</sub><sup>-</sup> с изоэлектронными ионами C<sub>2</sub><sup>+</sup>, Al<sub>2</sub><sup>-</sup> и Si<sub>2</sub><sup>+</sup>.  
Е. А. Ж.

М.А.

Ф. 1991, N 1

1990

B<sub>2</sub><sup>2+</sup>

37 Д136. Сильносвязанные метастабильные состояния катиона  $B_2^{2+}$ . Strongly bound metastable states of  $B_2^{2+}$  / Bruna Pablo J., Wright James S. // J. Chem. Phys.— 1990.— 93, № 4.— С. 2617—2630.— Англ.

В рамках метода конфигурац. взаимодействия с учетом одно- и двукратных возбуждений по отношению к набору исходных конфигураций (КВ—НИК) рассчитаны потенц. кривые 25 электронных состояний молекулярного иона  $B_2^{2+}$ . Выбран атомный базис  $[6s4p2d]$ , содержащий полудиффузные ф-ции для описания процессов переноса заряда. Основное состояние  $B_2^{2+}$   $X^1\Sigma_g^+$  несвязано, однако существует большое число метастабильных состояний, причем ряд потенц. кривых (состояний  $1^1\Pi_g$ ,  $1^1\Pi_u$ ,  $1^3\Sigma_g^-$  и  $1^1\Delta_g$ ) имеют довольно глубокие минимумы от 1,52 до 2,83 эВ. Проанализированы свойства метастабильных состояний, сопоставлено поведение потенц. кривых уровней различной симметрии. Показано, что важным фактором, обуславливающим существование метастабильных уровней, является диссоциация по симметричным  $B^+ + B^+$  и несимметричным  $B + B^+$  и каналам и многочисленным квазипересечениям потенц. кривых.

А. Ю. Ермилов

М.П.

ср. 1991, № 7

$B_2^{2+}$

1990

9 Б1016. Сильно связанные метастабильные состояния  $B_2^{2+}$ . Strongly bound metastable states of  $B_2^{2+}$  / Bruna Pablo J., Wright James S. // J. Chem. Phys.— 1990.— 93, № 4.— С. 2617—2630.— Англ.

Выполнены неэмпирич. расчеты и проанализирована электронная структура для 25 электронных состояний двухатомного дикатиона  $B_2^{2+}$ . Энергии и волновые ф-ции вычислены в приближении конфигурац. вз-вия с несколькими исходными конфигурациями; при этом использованы МО основного состояния  $B_2$ , построенные в базисе гауссовых ф-ций типа  $[6s4p2d]$ . На потенциальных кривых более 10 возбужденных состояний имеются минимумы выше соотв-щих диссоциац. пределов с глубинами ям от 1,5 до 3 эВ. Общей причиной

М.А.

Х. 1991, № 9

появления подобной картины является смешение конфигураций, коррелирующих с пределами  $V^{++}V^{+}$  и  $V^{+}V^{2+}$ . Наличие метастабильных состояний  $V_2^{2+}$  интерпретировано как проявление возбуждений с занятой в основном несвязанном состоянии МО  $\sigma_u$  на связывающие МО  $\sigma_g$  или  $\pi_u$ . Обсуждены простые корреляц. соотношения (напр., между ПТ ионизации), приводящие к качеств. выводам о метастабильных состояниях дикатионов. Рассмотрена возможность эксперим. наблюдения  $V_2^{2+}$ .

А. В. Немухин

1990

$B_2^+$

113: 193438s Strongly bound metastable states of the boron diatomic dipositive ion. Bruna, Pablo J.; Wright, James S. (Ottawa-Carleton Chem. Inst., Carleton Univ., Ottawa, ON Can. K1S 5B6). *J. Chem. Phys.* 1990, 93(4), 2617-30 (Eng). The stabilities of about 25 electronic states of  $B_2^{2+}$  were investigated using a multireference CI (MRD-CI) method and an AO basis set composed of 6s4p2d contracted Gaussian species per atom, including semidiffuse functions relevant for an adequate description of charge transfer interactions.

ПАРИМ

25 АЛЕКМОН.

СОСМОЛН.

C.A. 1990, 113, N 22

$B_2$

$B_2^+$

От 34837

1990

6 Б1044. Димер бора: энергия диссоциации и потенциалы ионизации. Boron dimer: Dissociation energy and ionization potentials / Deutsch P. W., Curtiss L. A., Pople J. A. // Chem. Phys. Lett.— 1990.— 174, № 1.— С. 33—36.— Англ.

Неэмпирическим методом G1, позволяющим учитывать корреляц. поправки высокого порядка (см. // J. Chem. Phys.— 1989.— 90.— С. 5622) с использованием базиса 6-31 ГФ\* рассчитаны энергии систем  $B_2$  и  $B_2^+$ , что позволяет оценить адиабатич. ПТ ионизации  $B_2$  как 8,9 ( $^2\Sigma_g^+$ -состояние  $B_2^+$  (и 9,27 эВ)  $^2\Pi_u$ ). Вычисленная энергия диссоциации  $B_2$   $D_0=2,71$  эВ отличается от эксперим. данных на 0,3 эВ. Предположено, что погрешность теор. величины менее 0,1 эВ, и следовательно целесообразно уточнить эксперим. оценку.

А. В. Немухин

М.А., Д.С.

X-1991, № 6

B<sub>2</sub>

Am 34837

1990

✓ 114: 12536q Boron dimer: dissociation energy and ionization potentials. Deutsch, P. W.; Curtiss, L. A.; Pople, J. A. (Chem. Technol. Div., Argonne Natl. Lab., Argonne, IL 60439 USA). *Chem. Phys. Lett.* 1990, 174(1), 33-6 (Eng). An ab initio MO study at the G1 level of theory has been carried out on B<sub>2</sub> and B<sub>2</sub><sup>+</sup>. The dissociation energy of the <sup>3</sup>Σ<sub>g</sub><sup>-</sup> ground state of B<sub>2</sub> is calcd. to be 2.71 eV. The adiabatic ionization potentials of B<sub>2</sub> to B<sub>2</sub><sup>+</sup>(<sup>2</sup>Σ<sub>g</sub><sup>+</sup>) and B<sub>2</sub><sup>+</sup>(<sup>2</sup>Π<sub>u</sub>) are 8.99 and 9.27 eV, resp. Comparison is made to recent theor. and exptl. studies of these quantities.

Do, I,  
parent

C.A. 1991, 114, N2

B<sub>2</sub><sup>+</sup>

OM 34837

1990

№ 3 Д114. Димер бора: энергия диссоциации и потенциалы ионизации. Boron dimer: dissociation energy and ionization potentials / Deutsch P. W., Curtiss L. A., Pople J. A. // Chem. Phys. Lett.— 1990.— 174, № 1.— С. 33—36.— Англ.

С применением многочастичной теории возмущений второго порядка в варианте Меллера—Плессета (МП2) и метода, с использованием которого можно получать поправки к значениям полной энергии, найденным методом Хартри—Фока и обеспечивающего получение результатов более высокого уровня точности по сравнению с МП2, выполнены расчеты равновесных межъядерных расстояний и полных энергий электронных состояний  $^3\Sigma_g^-$ ,  $^5\Sigma_u^-$  для  $B_2$  и  $^2\Pi_u$ ,  $^2\Sigma_g^+$  для  $B_2^+$ , а также энергии иона  $B^+$  в состоянии  $^1S$  и атома  $B$  в состоянии  $^2P$ . На основании сравнения полученных результатов с имеющимися эксперим. данными сделан вывод о необходимости повторного эксперим. определения энергии диссоциации основного  $^3\Sigma_g^-$  состояния  $B_2$  и 1-го и 2-го потенциалов ионизации  $B^+$ . А. И. К.

М. П., До

ср. 1991, № 3

B<sub>2</sub><sup>+</sup>

OM 33946

1990

Hanley L., Whitter J. L.,  
Anderson S.,

J. Phys. Chem. 1990, 94,  
N5, 2218

Collision-Induced Dissocia-  
tion and ab Initio Studies of

Boron Cluster Ions: Determination of Structures and Stabilities

BB

(DM. 33709)

1990

Lana M., Leroy G., Henriot Ch.,

J. Chim. Phys. Et Chim.

M.A.

Biol. 1990, 87, N1, 1-11.

B<sub>2</sub>

1991

9 Д86. Теоретическое исследование спектроскопии B<sub>2</sub>. Theoretical study of the spectroscopy of B<sub>2</sub> / Langhoff Stephen R., Bauschlicher Charles W. (Jr.) // J. Chem. Phys.— 1991.— 95, № 8.— С. 5882—5888.— Англ.

М.Н.

365-49

0110

Методом НИК-КВ в гауссовом базисе атомных натуральных орбиталей [4s3p2d1f] проведены расчеты синглетных, триплетных и квинтетных состояний B<sub>2</sub> ниже энергии 45 000 см<sup>-1</sup>. С использованием базиса [5s4p3d2f1g] рассчитаны также низколежащие состояния X<sup>3</sup>Σ<sub>g</sub><sup>-</sup>; A<sup>3</sup>Π<sub>u</sub>, a<sup>5</sup>Σ<sub>u</sub><sup>-</sup>, b<sup>1</sup>Δ<sub>g</sub> и c<sup>1</sup>Σ<sub>g</sub><sup>+</sup> для проверки точности спектроскопич. постоянных, определенных в меньших базисах. Лучшая оценка энергии состояния a<sup>5</sup>Σ<sub>u</sub><sup>-</sup> составляет 1701 см<sup>-1</sup>. Энергия диссоциации состояния x<sup>3</sup>Σ<sub>g</sub><sup>-</sup> равна 2,78 эВ. Представлены коэф. Эйнштейна для некоторых триплет-триплетных переходов и радиационные времена жизни триплетных состояний. Кривые потенц. энергии B<sub>2</sub> сопоставлены с аналогично рассчитанными кривыми для Al<sub>2</sub>.

Ф. 1992, к.9.

$B_2$

от 36549

1991

18 Б1031. Теоретическое изучение спектроскопии  $B_2$ .  
Theoretical study of the spectroscopy of  $B_2$  / Langhoff  
Stephen R., Bauschlicher Charles W. (Jr) // J. Chem.  
Phys.— 1991.— 95, № 8.— С. 5882—5888.— Англ.

Методом конфигурац. вз-вия с несколькими исходны-  
ми конфигурациями рассчитаны синглетные, триплетные  
и квинтетные электронные состояния молекулы  $B_2$  с  
энергиями не выше  $45\,000\text{ см}^{-1}$ . Использован базис на-  
туральных АО, представленных наборами сгруппирован-  
ных гауссовых ф-ций  $(13s8p6d4f)/[4s3p2d1f]$ . Орбитали  
получены многоконфигурац. методом ССП в полном  
активном пространстве. Получена оценка энергии дис-  
социации основного состояния  $2,85 \pm 0,06\text{ эВ}$ . Определе-  
ны вероятности переходов между нек-рыми триплетны-  
ми состояниями и излучат. времена жизни триплетных  
состояний. Сопоставлены потенциальные кривые изова-  
лентных молекул  $B_2$  и  $Al_2$ . А. А. Сафонов

М.А.

X. 1992, № 18.

B<sub>2</sub>

Om 36549

1991

115: 242835m Theoretical study of the spectroscopy of the boron dimer. Langhoff, Stephen R.; Bauschlicher, Charles W., Jr. (Ames Res. Cent., NASA, Moffett Field, CA 94035 USA). *J. Chem. Phys.* 1991, 95(8), 5882-8 (Eng). The singlet, triplet, and quintet states of B<sub>2</sub> below about 45 000 cm<sup>-1</sup> were studied at the multireference configuration-interaction (MRCI) level in a [4s 3p 3d 1f] at. natural orbital (ANO) Gaussian basis set. Calcns. employing a [5s 4p 3d 2f 1g] ANO basis were also performed for the low-lying states, X <sup>3</sup>Σ<sub>g</sub><sup>-</sup>, A <sup>3</sup>Π<sub>u</sub>, a <sup>5</sup>Σ<sub>u</sub><sup>-</sup>, b <sup>1</sup>Δ<sub>g</sub>, and c <sup>1</sup>Σ<sub>g</sub><sup>+</sup>, to assess the accuracy of the spectroscopic consts. detd. with the smaller basis and to position the singlet, triplet, and quintet manifolds as accurately as possible. The best est. of the T<sub>e</sub> value for the a <sup>5</sup>Σ<sub>u</sub><sup>-</sup> state is 1701 cm<sup>-1</sup>. A D<sub>0</sub> value is computed for the X <sup>3</sup>Σ<sub>g</sub><sup>-</sup> state of B<sub>2</sub> of 2.78 eV and D<sub>0</sub> is 2.85 ± 0.06 in the complete CI limit. This value is within the error bars of the rather uncertain JANAF value, but is larger than the value of 2.71 eV detd. recently using the G1 approach. Einstein coeffs. are presented for selected triplet-triplet transitions, and radiative lifetimes for the triplet states to help characterize the optical spectra. Finally the potential energy curves of B<sub>2</sub> are compared to those detd. in an analogous manner for Al<sub>2</sub>.

M.A.

C.A. 1991, 115, N22

B<sub>2</sub>

1991

120: 89436p Theoretical calculation of the oscillator strength of  $A^3\Sigma_u^- - X^3\Sigma_g^-$  of diboron molecule. Liu, Bicheng; Xiong, Ye (Dep. Math. Phys., Changsha Railw. Coll., Changsha, Peop. Rep. China). *Yunnan Daxue Xuebao, Ziran Kexueban* 1991, 13(3), 219-21 (Ch). Using the STO-4G double  $\zeta$  expansive basis, the wave functions of the ground state ( $X^3\Sigma_g^-$ ) and the first excitation state ( $A^3\Sigma_u^-$ ) of  $B_2$  mol. were found with the methods of MCSCF and CI. The oscillator strength of  $A^3\Sigma_u^- - X^3\Sigma_g^-$  of the  $B_2$  mol. was obtained by using the coupled pole approxn. The value is 0.00124.

$A^3\Sigma_u^- - X^3\Sigma_g^-$   
(f<sub>im</sub>)

C.A. 1994, 120, N 8

B<sub>2</sub>

1991

116: 30110s Theoretical calculation of the oscillator strength of  $A^3\Sigma_u^- - X^3\Sigma_g^-$  band system of the boron ( $B_2$ ) molecule. Liu, Bicheng; Xiong, Ye (Dep. Math. Phys., Changsha Railway Coll., Chengsha, Peop. Rep. China). *Yuanzi Yu Fenzi Wuli Xuebao* 1991, 8(2), 1855-8 (Ch). Using STO-4G double  $\zeta$  basis, the MO's of  $B_2$  mol. were found with the method of MCSCF. The configuration spaces with different sym. form have been built according to the different sym. form of different electronic states, and the ground state ( $X^3\Sigma_g^-$ ) and the first excited state ( $A^3\Sigma_u^-$ ) of  $B_2$  mol. have been obtained by means of CI method. The oscillator strength of  $A^3\Sigma_u^- - X^3\Sigma_g^-$  band system of  $B_2$  mol. was calc. by using couple-pole approxn. Its value is 0.00124.

( $A^3\Sigma_u^- - X^3\Sigma_g^-$ )  
(fmm)

C.A. 1992, 116, N4

B<sub>2</sub>

DM-37204

1992

117: 57917t Observation of several new electronic transitions of the boron dimer. Brazier, C. R.; Carrick, P. G. (Phillips Lab./RKFE, Propul. Dir., Edwards Air Force Base, CA 93523 USA). *J. Chem. Phys.* 1992, 96(12), 8684-90 (Eng). Several new electronic transitions of the B<sub>2</sub> mol. were obsd. in emission from a corona excited supersonic expansion source. The rotational analyses of two bands, designated (2)  $^3\Pi_u$ -(1)  $^3\Pi_g$  and (1)  $^1\Delta_u$ -b  $^1\Delta_g$ , are presented, together with a description of three other new systems. The results are compared with recent high-level theor. calcs.

м. спектры

(2)  $^3\Pi_u$ -(1)  $^3\Pi_g$

и (1)  $^1\Delta_u$ -b  $^1\Delta_g$

транз. акамы

С. А. 1992, 117, N 6

$B_2$

Am. 37055

1992

8 Д85. Исследование основного состояния и возбужденных состояний  $B_2$  методом конфигурационного взаимодействия. Configuration-interaction studies on the ground state and excited states of  $B_2$  / Hachey M., Karpa S. P., Grein F. // J. Phys. B.— 1992.— 25, № 6.— С. 1119—1136.— Англ.

С использованием сгруппированного гауссова базиса  $5s3p$  с дополнительными  $d$ -поляризационными,  $s$ -,  $p$ -,  $d$ -диффузными ф-циями и  $p$ -ф-циями отрицат. иона методом конфигурац. взаимодействия проведены расчеты основного состояния и 55 низколежащих возбужденных состояний молекулы  $B_2$ . Спектроскопич. постоянные, полученные для  $B_2$ , сопоставлены с теоретич. и эксперим. результатами для изовалентных молекул  $Al_2$  и  $Ga_2$ . Обсуждены тенденции изменений величин  $T_e$ ,  $\omega_e$  и  $R_e$ .

М.А.

Ф. 1992, № 8

$B_2$

От 37055

1992

№ 18 Б1028. Исследование методом конфигурационного взаимодействия основного и возбужденных состояний  $B_2$ . Configuration-interaction studies on the ground state and excited states of  $B_2$  / Hachey M., Karna S. P., Grein F. // J. Phys. B.— 1992.— 25, № 6.— С. 1119—1136.— Англ.

Методом конфигурац. вз-вия с несколькими исходными конфигурациями рассчитаны потенциальные кривые 55 низлежащих электронных состояний молекулы  $B_2$ . Использован базис сгруппированных гауссовых ф-ций  $(11s8p2d) / [6s5p2d]$ . Определены спектроскопич. постоянные 53 связанных состояний. Результаты хорошо согласуются с имеющимися эксперим. данными для состояний  $X^3\Sigma_g^-$  и  $A^3\Sigma_u^-$ . Проанализированы причины наблюдавшегося экспериментально возмущения полосы перехода  $A-X$ . Сопоставлены спектроскопич. постоянные изовалентных молекул  $B_2$ ,  $Al_2$  и  $Ga_2$ . А. А. Сафонов

М.П.

X. 1992, N 18.

B<sub>2</sub>

COM. 37055

1992

116: 201543s Configuration-interaction studies on the ground state and excited states of the boron dimer. Hachey, M.; Karna, S. P.; Grein, F. (Dep. Chem., Univ. New Brunswick, Fredericton, NB Can. E3B 6E2). *J. Phys. B: At., Mol. Opt. Phys.* 1992, 25(6), 1119-36 (Eng). Using a 5s3p contracted Gaussian basis set, with addnl. d-polarization, s, p, d diffuse and p neg.-ion functions, configuration-interaction (CI) methods were applied to the ground state and 55 low-lying states of B<sub>2</sub>. From the potential curves spectroscopic consts. for 53 stable states were obtained. Exptl., only the  $2^3\Sigma_u^- - X^3\Sigma_g^-$  system is known. Agreement of calcd. with exptl. values for the two known states is very good. All-electron CI studies were performed for the two low-lying states  $X^3\Sigma_g^-$  and  $1^3\Sigma_u^-$ , which are sepd. by only about 0.14 eV. Relative to the ground state configuration  $2\sigma_g^2 2\sigma_u^2 1\pi_u^2$ , most excited valence states derive from single and double excitations to  $3\sigma_g$ ,  $1\pi_u$  and  $3\pi_g$ . At higher energies, Rydberg excitations from  $1\pi_u$  to  $\sigma_u^R$ ,  $\pi_u^R$  and  $\pi_g^R$  occur. Perturbations of the  $\alpha^3\Sigma_u^- - X^3\Sigma_g^-$  system, as obsd. exptl., were studied. The states most likely to perturb the vibrational levels of  $X^3\Sigma_g^-$  are  $1^3\Pi_u$  and  $1^1\Sigma_g^+$ , however, they are not allowed as perturbing states by Kronig's selection rules. Although  $1^1\Sigma_g^+$  may interact with  $X^3\Sigma_g^-$

53 стаб. сост.;  
номеры. p-um.  
перем., We  
теор. панель

C.A. 1992, 116, N 20

via spin-orbit coupling, only vibrational bands with  $v'' \geq 8$  would be affected. Another explanation of the obsd. high- $v''$  vibrational levels of the A-X system, identifying the upper state with  $1^3\Sigma_u^-$ , has been suggested, but this proposal also encounters some difficulties. Comparison of the spectroscopic consts. obtained for  $B_2$  with theor. and exptl. results for the isovalent mois.  $Al_2$  and  $Ga_2$  was made. Trends in  $T_e$ ,  $\omega_e$  and  $R_e$  were rationalized on the basis of orbital character.

B<sub>2</sub>

Kutzler F.W., Painter G.S.,  
1992

Phys. Rev. B. 1992, 45,

U.N. NF, C. 3236 - 3244.

(All. Lit.; III)

B<sub>2</sub>

1992

116: 136634f Potential energy surface of the boron tetramer and total atomization energies of the boron dimer, trimer, and tetramer. Martin, J. M. L.; Francois, J. P.; Gijbels, R. (Limburgs Univ. Cent.; 3590 Diepenbeek, Belg.). *Chem. Phys. Lett.* 1992, 189(6), 529-36 (Eng). The potential energy surface of B<sub>4</sub> has been studied ab initio using extended basis sets and coupled-cluster methods. The ground state (<sup>1</sup>A<sub>1g</sub>) is a singlet square that undergoes pseudo-Jahn-Teller distortion to a rhombic structure (<sup>1</sup>A<sub>g</sub>), but the energy gain is so small that the effective structure will be square at all practical temps. Total atomization energies ΣD<sub>0</sub> (kcal/mol.) for B<sub>2</sub>(62.2 ± 2), B<sub>3</sub>(189.1 ± 2-192.6 ± 2), and B<sub>4</sub>(312.2 ± 2) are computed by a modification of GAUSSIAN-1 (GI) theory. The validity of scaling and bond-additivity schemes for computing binding energies of higher clusters is discussed.

(Damonny.)  
 моп. парем

(+2) B<sub>3</sub>, B<sub>4</sub> ●

C.A. 1992, 116, N 14

1992

B<sub>2</sub><sup>+</sup>  
B<sub>2</sub>

119: 279308a Computed self-consistent field and singles and doubles configuration interaction spectroscopic data and dissociation energies for the diatomics boron dimer, carbon dimer, nitrogen, oxygen, fluorine, cyanogen, phosphinidymethyl (CP), carbon sulfide (CS), phosphorous nitride (PN), silicon carbide (SiC), silicon nitride (SiN), oxosilylene (SiO), silicon phosphide (SiP), and their ions. McLean, A. D.; Liu, B.; Chandler, G. S. (Res. Lab., IBM, San Jose, CA USA). *J. Chem. Phys.* 1992, 97(11), 8459-64 (Eng). Single configuration SCF calcns. near the Hartree-Fock limit, and singles and doubles CI (SDCI) calcns. from this single SCF configuration have been performed for the ground and selected excited states of B<sub>2</sub><sup>+</sup>, B<sub>2</sub>, C<sub>2</sub><sup>+</sup>, C<sub>2</sub>, N<sub>2</sub><sup>+</sup>, N<sub>2</sub>, O<sub>2</sub><sup>+</sup>, O<sub>2</sub>, F<sub>2</sub><sup>+</sup>, F<sub>2</sub>, CN, CN<sup>-</sup>, CP, CS, PN, SiC, SiC<sup>-</sup>, SiN, SiN<sup>-</sup>, SiO, and SiP. Potential energy curves, with Davidson corrections, have been obtained around equil. sepns. Equil. bond lengths, vibrational energies, ionization potentials, and dissociation energies are reported.

for the molecules  
He, Li, Be,  
Ne, F, Ar,  
Kr, Xe

Δ (+2.0)

C.A. 1993, 119, N 26

B<sub>2</sub>

1992

118: 198509u Electronic structures of Rydberg states of molecules isoelectronic with neon. Yang, Huanwang; Liu, Lei; Li, Jiaming (Dep. Phys., Shandong Norm. Univ., Jinan, Peop. Rep. China 250014). *Wuli Xuebao* 1992, 41(1), 10-17 (Ch). Based on the multiple-scattering self-consistent-field theory, we have studied the mol. Rydberg states of the mols. H<sub>2</sub>, HF, H<sub>2</sub>O, NH<sub>3</sub>, and CH<sub>4</sub> isoelectronic with Ne. From the united at. limit of mol. electronic configuration, we set a convention to det. the principal quantum no. of the initial states of a Rydberg series. The dynamics of the excited mols. are elucidated. The theor. calcns. are in fair agreement with the available exptl. results.

(P. 98-101. 100m)

(44) 10 HF, H<sub>2</sub>O, NH<sub>3</sub>, CH<sub>4</sub>

C.A. 1993, 118, N 20

B<sub>2</sub>

1993

119: 190874) Singly and strongly bound multiply excited states of diboron (B<sub>2</sub>). Cao, Zexing; Yan, Guosen; Tian, Anmin (Dep. Chem., Sichuan Univ., Chengde, Peop. Rep. China 610064). *Gaodeng Xueyao Huaxue Xuebao* 1993, 14(5), 711-13 (Ch). The optimized geometries of several low-lying electronic states of B<sub>2</sub> are obtained by using an energy gradient technique and SCF or SOCI energy minimization methods with a spd. 6-15 G\* basis set. In the

Highly excited  
C<sup>3</sup>Σ<sup>-</sup> state

C<sup>3</sup>Σ<sub>5</sub><sup>-</sup> X<sup>3</sup>Σ<sub>g</sub><sup>-</sup>

We

upper states of B<sub>2</sub>, an increase in bond strength can occur in case of one and two-excitations from the σ<sub>x</sub>, antibonding MO into either a bonding σ<sub>g</sub>, or π<sub>x</sub>, MO, and the bonding effect of π<sub>x</sub> is superior to that of σ<sub>x</sub> is superior to that of σ<sub>g</sub>. The transition energies (E<sub>T</sub>) are given at an accurate second order CI (SOC1) level of theory, and based on the close agreement between the calcd. and obsd. E<sub>T</sub>, the Douglas-Herzberg transition is assigned by transition from C<sup>3</sup>Σ<sub>5</sub><sup>-</sup> to the ground state X<sup>3</sup>Σ<sub>g</sub><sup>-</sup>. In addn., obtained were the vibrational frequencies (ω<sub>v</sub>) for the ground and excited states with the model potential function method.

C.A. 1993, 119, N18

B<sub>2</sub>

1993

120: 117309v Benchmark calculations with correlated molecular wave functions. III. Configuration interaction calculations on first row homonuclear diatomics. Peterson, Kirk A.; Kendall, Rick A.; Dunning, Thom H., Jr. (Mol. Sci. Res. Cent., Pacific Northwest Lab., Richland, WA 99352 USA). *J. Chem. Phys.* 1993, 99(12), 9790-805 (Eng). Using correlation consistent basis sets from double through quintuple zeta quality, potential energy functions were calcd. for the electronic ground states of the 1st row homonuclear diat. mol. B<sub>2</sub>, C<sub>2</sub>, N<sub>2</sub>, O<sub>2</sub>, and F<sub>2</sub> using single and double excitation CI (HF+1+2, GVB+1+2, and CAS+1+2) wave functions. Spectroscopic consts. were calcd. for each species and compared to expt. The dependence of the calcd. spectroscopic consts. on systematic extensions of the one-particle basis set are, in general, very regular. By fitting the directly calcd. values with a simple exponential function, accurate ests. of the complete basis set (CBS) limit for E<sub>v</sub>, D<sub>v</sub>, and r<sub>e</sub> were obtained for each level of theory. The estd. CBS limits are compared to the available exptl. results, and the intrinsic errors assocd. with each theor. method are discussed. The accuracy of the internally contracted CAS+1+2 method is compared to conventional uncontracted calcns. using large basis sets. For B<sub>2</sub>, a full CI calcn. were carried out for D<sub>v</sub> with the correlation consistent double zeta basis set and is compared to the CAS+1+2 method using both a supermol. and sep'd. atom approach for the dissoci. limit.

M.A.,



meep - pacem

(74)

C<sub>2</sub>, N<sub>2</sub>, O<sub>2</sub>, F<sub>2</sub>

C.A. 1994, 120, N10

B<sub>2</sub>

Reid C. J.

1993

Int. J. Mass Spectrom.

(Ae)

Ion Processes 1993, 127,  
147-60.

● (Cell. BH; III)

1993

F: B2

P: 3

7Б167. Одно- и двукратно-возбужденные состояния B[2] и соответствующие им спектры. The singly and doubly excited states of B[2] and their spectra / Yan G., Cao Z. X., Liang G. M., Tian A. M. // J. Mol. Struct. Theochem. - 1993. - 101, N 3. - С. 283-286. - Англ.

P. M. X. N<sup>7</sup>, 1996.

B<sub>2</sub>

1993

119: 82260x The singly and doubly excited states of boron (B<sub>2</sub>) and their spectra. Yan, Gousen; Cao, Zexing; Liang, Guoming; Tian, Anmin (Dep. Chem., Sichuan Univ., Chengdu, Peop. Rep. China 610064). *THEOCHEM* 1993, 101(3), 283-6 (Eng). The optimized geometries of eleven low-lying electronic states of B<sub>2</sub> are obtained by use of an energy gradient, SCF and second-order CI (SOC1) energy minimization methods with a std. 6-31G\* basis set. Transition energy (E<sub>t</sub>) values are given at an accurate SOC1 level and, based on the good agreement between calcd. and obsd. hE<sub>t</sub> values, the Douglas-Hertzberg transition is assigned to transition from the C<sup>2</sup>Σ<sub>g</sub><sup>-</sup> to the X<sup>2</sup>Σ<sub>g</sub><sup>-</sup> state. In addn., vibrational frequencies have been reported for all given states with the model potential function method.

спукаўра,  
we 11 кукук  
фот. ком.,  
мед. пацм

C.A. 1993, 119, N8

B<sub>2</sub>

(DM. 37 773)

1994

Boldyrev A.I., Gonzalez N.,  
Simons J.,

35-

J. Phys. Chem., 1994,

D; 98, N 40, 9931-9944

Журнал  
теорет.  
химии

B<sub>2</sub>

DM-37620

1994

121: 68443u High resolution Fourier transform emission spectrum of the (2)  $^3\Pi_g$ -A  $^3\Pi_u$  transition of the B<sub>2</sub> molecule. Brazier, C. R.; Carrick, Patrick G. (RKFE, Phillips Lab., Edwards Air Force Base, CA 93524-7680 USA). *J. Chem. Phys.* 1994, 100(11), 7928-37 (Eng). The (2)  $^3\Pi_g$ -A  $^3\Pi_u$  system of B<sub>2</sub> has been characterized for the first time. A full rotational anal. of the 0-0, 0-1, 1-0, and 1-3 bands has been performed. The mol. parameters are compared with recent high level theor. calcns. and show good agreement. An extensive perturbation of the upper (2)  $^3\Pi_g$  state by the (1)  $^3\Pi_g$  state was obsd. This was most clearly evident for  $v = 0$  of the (2)  $^3\Pi_g$  state for the  $^{10}B^{11}B$  isotopomer, which is split into components by the interaction with  $v = 7$  of (1)  $^3\Pi_g$ . The perturbation interaction exhibited a significant rotational dependence, which was interpreted as arising from a change in the Franck-Condon factors as the rotational contribution to the potential changed. A weak local perturbation was obsd. in  $v = 1$  of the A  $^3\Pi_u$  state for a crossing with  $v = 2$  of the  $\alpha$   $^5\Sigma_u^-$  state.

(2)  $^3\Pi_g$ -A  $^3\Pi_u$   
M.N.



C.A. 1994, 121, N6.

B<sub>2</sub>

DM. 37618 (Тонко 107.) 1994

121: 43089v Nonadiabatic perturbations and fine structure splittings in the 1,2  $^3\Pi_g$  states of B<sub>2</sub>: an analysis based on adiabatic and rigorous diabatic states. Manaa, M. Riad; Yarkony, David R. (Dep. Chem., Johns Hopkins Univ., Baltimore, MD 21218 USA). *J. Chem. Phys.* 1994, 100(11), 8204-11 (Eng). Nonadiabatic effects and fine-structure splittings in the 1,2  $^3\Pi_g$  states of B<sub>2</sub> were studied. Adiabatic electronic wave functions  $\Psi^*(J^3\Pi_g)$  were calcd. at the MR-CI level. The interstate deriv. couplings  $\langle \Psi^*(1^3\Pi_g) | (d/dR) | \Psi^*(2^3\Pi_g) \rangle$  were calcd., and used to construct "rigorous" diabatic electronic states. The spin-orbit interactions responsible for the fine-structure splitting in the 1,2  $^3\Pi_g$  states were detd., as were the 1,2  $^3\Pi_g \sim 1^1\Pi_g$  spin-orbit interactions. These electronic-structure data were used to det. the vibrational structure of the 1,2  $^3\Pi_g$  states in both coupled adiabatic and coupled diabatic states bases. As a result of an avoided crossing of the 1,2  $^3\Pi_g$  states, the fine-structure-splitting consts. exhibit a marked geometry dependence. The fine structure splitting consts. for the (1  $^3\Pi_g$ , v = 0-4) levels were found to be -4.2(-4.4), -3.7, -2.8, -1.8, and -0.83 cm<sup>-1</sup>, resp. The (1  $^3\Pi_g$ , v = 0) value is in good agreement with a recent exptl. detn. given parenthetically. While the diabatic basis provides illuminating qual. insights into the electronic structure of the states in question, the adiabatic basis is preferred computationally.

$^3\Pi_g$  тонкая  
структура  
1, 2 расщеплен.

С. А. 1994, 121, N4

B<sub>2</sub>

1995

124: 70275w Emission spectra of the  $(1)^1\Sigma_u^+ - (1)^1\Sigma_g^+$  transition of B<sub>2</sub>. DeRose, Michelle E.; Carrick, Patrick G.; Brazier, Christopher R. (Phillips Lab/Propulsion Directorate, Edwards AFB, CA 93524-7680 USA). *J. Mol. Spectrosc.* 1995, 174(2), 379-87 (Eng). Emission spectra of the  $(1)^1\Sigma_u^+ - (1)^1\Sigma_g^+$  electronic transition of B<sub>2</sub> produced by discharging dil. mixts. of diborane followed by expansion through a corona excited supersonic expansion source have been recorded and analyzed for the first time. The spectra of the 0-0, 1-1, 2-2, 3-3, and 4-4 vibrational bands of this transition will be presented along with their rotational analyses. The mol. parameters that resulted from fitting the data to a Dunham-type expansion will be reported and compared with recent theor. calcs.

$(1)^1\Sigma_u^+ -$   
 $-(1)^1\Sigma_g^+$

M.N.

C.A. 1996, 124, N6.

B<sub>2</sub>

Dom. 38917

1997

Lao Zexing, Wu Wei  
et al.,

Hydrogen  
Cocatalysis

Science in China,

1997, B40, N 5, 548-553.

B<sub>2</sub>

1997

127: 322924c Benchmark calculations with correlated molecular wave functions. Part 12. Core correlation effects on the homonuclear diatomic molecules B<sub>2</sub>-F<sub>2</sub>. Peterson, Kirk A.; Wilson, Angela K.; Woon, David E.; Dunning, Thom H., Jr. (Department Chemistry, Washington State University, Richland, WA 99352 USA). *Theor. Chem. Acc.* 1997, 97(1-4), 251-259 (Eng), Springer. Using systematic sequences of the newly developed correlation-consistent core-valence basis sets from cc-pCVDZ through cc-pCV6Z, the spectroscopic consts. of the homonuclear diat. mols. contg. 1st row atoms, B to F, were calcd. both with and without inclusion of 1s correlation. Internally contracted multireference CI (IC-MRCI) and singles and doubles coupled cluster (CCSD) theory with a perturbational est. of connected triple excitations, CCSD(T), were investigated. By exploiting the convergence of the correlation-consistent basis sets, complete basis set (CBS) limits were estd. for total energies, dissocn. energies, equil. geometries, and harmonic frequencies. Based on the estd. CBS limits the effects of 1s correlation on D<sub>0</sub> (kcal/mol), r<sub>e</sub> (Å), and ω<sub>e</sub> (cm<sup>-1</sup>) are: +1.1, -0.0070, +10 for B<sub>2</sub>; +1.5, -0.0040, +13 for C<sub>2</sub>, +0.9, -0.0020, +9 for N<sub>2</sub>; +0.3, -0.0020, +6 for O<sub>2</sub>; and -0.1, -0.0015, +1 for F<sub>2</sub>.

(Re, Ue)  
mop. param

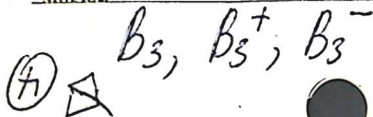


(43)

C<sub>2</sub>, N<sub>2</sub>, U<sub>2</sub>

1997

128: 145579s A correlation study of boron dimers and trimers. Howard, I. A.; Ray, A. K. (Department of Physics, University of Texas at Arlington, Arlington, TX 76019 USA). *Z. Phys. D: At., Mol. Clusters* 1997, 42(4), 299-301 (Eng), Springer-Verlag. We have carried out ab initio MO studies of neutral and charged boron dimers and trimers, using a large basis set. Electron correlation effects are included through the techniques of fourth-order many-body perturbation theory. Results for total energies, geometries, binding energies, and binary fragmentation energies are presented, and where possible compared with published results. Stabilities of the geometries considered are further studied through a vibrational-mode anal. The ground state of  $B_2$  is predicted to be a triplet; of  $B_2^-$ , a quartet, and of  $B_2^+$  a doublet. The ground state of  $B_3$  is a triangular doublet, of  $B_3^-$  a linear singlet and of  $B_3^+$  a triangular singlet.



C.A. 1998, 128, N12

 $B_2^-$  $B_2$  $B_2^+$ 

OCH-7A.

COCM.

mesp.

pabum

B2

1998

Moscardo F; et al;

методом  
расчет  
структур.  
параметры,  
W, P,  
Δ K<sub>аном</sub>.

J. Comput. Chem.  
1998, 19 (16),  
1899-1908

(ан. ● H<sub>2</sub>; III)

B<sub>2</sub><sup>2-</sup>

1998

130: 130177b Doubly Charged Negative Ions of B<sub>2</sub> and C<sub>2</sub>. Pedersen, H. B.; Djuric, N.; Jensen, M. J.; Kella, D.; Safvan, C. P.; Vejby-Christensen, L.; Andersen, L. H. (Institute of Physics and Astronomy, University of Aarhus, Aarhus, DK-8000 Den.). *Phys. Rev. Lett.* 1998, 81(24), 5302-5305 (Eng), American Physical Society. The formation of short-lived doubly charged neg. diat. mol. ions has been studied at a heavy-ion storage ring by bombarding singly charged neg. ions of B<sub>2</sub><sup>-</sup> and C<sub>2</sub><sup>-</sup> by free electrons of well-defined energy. Structures are obsd. in the cross sections for detachment and fragmentation which are argued to be due to short-lived dianion resonances. The resonance energy of B<sub>2</sub><sup>-</sup> (-5 eV) is close to a calcd. dianion ground-state energy and to the energy of some low-lying excited states of B<sub>2</sub><sup>2-</sup>. The C<sub>2</sub><sup>-</sup> resonance energy (-10 eV) is close to predicted excited states of C<sub>2</sub><sup>2-</sup> and significantly above the calcd. dianion ground-state energy. From the width of the resonances a lifetime of about 10<sup>-16</sup> s is obtained for these fragile gas-phase dianions.

preval  
accept

(H) K

C.A. 1999, 130, N10

C<sub>2</sub><sup>2-</sup>

1998

$B_n$



128: 235390c Mean bond energy in  $B_n$  and  $Al_n$  clusters as a function of the equilibrium internuclear distance. Ionov, S. P.; Kuznetsov, N. T.; Alikhanyan, A. S. (Spektr Research and Technological Center, Russian Academy of Sciences and Academy of Engineering Sciences of the Russian Federation, Russia). *Russ. J. Coord. Chem.* 1998, 24(1), 9-13 (Eng), MAIK Nauka/Interperiodica Publishing. A new semiempirical formula is presented for calcg. the mean bond energy  $\Delta E_b$  per atom in boron and aluminum clusters  $B_n$  and  $Al_n$  ( $2 \leq n \leq \infty$ ). Within the framework of the structural-thermochem. model, only a single const. parameter, namely, the relative chem. potential of B (Al) in the  $B_2$  ( $Al_2$ ) mol., describes the whole  $B_n$  (or  $Al_n$ ) series. This allows the calcn. of the relative chem. potential for any (nth) member of this series. Theor. ests. are made for internuclear distances in ground-state  $Ca_2$ ,  $Ga_2$ ,  $In_2$ , and  $Tl_2$  mols. For the first time, an empirical formula is derived for the dependence of  $R_e$  (BB) on the topol. factor of the  $B_n$  clusters.

Хервел  
сфера



(4)

$Al_n$



C.A. 1998, 128, N 19

1999

F: B2-

P: 3

131:107075 An ab initio molecular orbital study of the electron affinity of boron clusters. Takeuchi, T.; Yamamoto, M.; Kiuchi, M. (Nara Women's University, Kitauoyanishi-machi, Nara 630-8506, Japan). Nucl. Instrum. Methods Phys. Res., Sect. B, 153(1-4), 298-301 (English) 1999 The electron affinities of boron clusters were studied using ab initio MO methods to discuss the phenomenon of clustered boron anions emitted during sputtering. Calcns. were performed at the MP4(SDQ)/CBSB5 level. The calcd. electron affinities of B, B<sub>2</sub>, and B<sub>3</sub> were found to be 0.214, 3.66, and 3.20 eV, resp. These values are qual. consistent with the exptl. dat of sputtering yield of B<sup>-</sup>, B<sub>2</sub><sup>-</sup>, and B<sub>3</sub><sup>-</sup>.

C.A. 1999, 131

F: B2

P: 3

131:107075 An ab initio molecular orbital study of the electron affinity of boron clusters. Takeuchi, T.; Yamamoto, M.; Kiuchi, M. (Nara Women's University, Kitauoyanishi-machi, Nara 630-8506, Japan). Nucl. Instrum. Methods Phys. Res., Sect. B, 153(1-4), 298-301 (English) 1999 The electron affinities of boron clusters were studied using ab initio MO methods to discuss the phenomenon of clustered boron anions emitted during sputtering. Calcns. were performed at the MP4(SDQ)/CBSB5 level. The calcd. electron affinities of B, B<sub>2</sub>, and B<sub>3</sub> were found to be 0.214, 3.66, and 3.20 eV, resp. These values are qual. consistent with the exptl. dat of sputtering yield of B<sup>-</sup>, B<sub>2</sub><sup>-</sup>, and B<sub>3</sub><sup>-</sup>.

C.A. 1999, 131

B<sub>2</sub> (We, ze, meop. param)

2000

134: 9596s Quasi-classical determination of electronic energies and vibration frequencies in boron compounds. Chkhartishvili, Levan; Lezhava, David; Tsagareishvili, Otar (Laboratory for Solid State Physics, Department of Physics, Georgian Technical University, Tbilisi, Georgia 380075). *J. Solid State Chem.* 2000, 154(1), 148-152 (Eng), Academic Press. A substance is a quasiclassical system in the sense of the Maslov criterion. The interat. potential is an algebraic function of distance in the first quasiclassical approxn., and mol. or cryst. electronic structure is obtained by solving the secular equation in which matrix elements are expressed by vols. of intersections of the classically accessible areas for electron states of atoms. The quasiclassical ests. of electron orbital energies and vibration frequencies for diat. mols. B<sub>2</sub>, BC, BN, and BO are found. The band gap of 0.14 au was established as a result of the quasiclassical calcns. of the d. of states for h-BN layered crystal. (c) 2000 Academic Press.

B<sub>2</sub>

2700

Tam, Simon, et al.,

спектр  $\gamma$ . Chem. Phys.  
Магнусах 2000, 113(20),  
9067 - 9078.

A  $^{35}\text{u}$  - X  $^{35}\text{g}$

(see B; ● III)

B<sub>2</sub>

2001

135: 127379s An analysis and implementation of a general coupled cluster approach to excitation energies with application to the B<sub>2</sub> molecule. Hald, Kasper; Jorgensen, Poul; Olsen, Jeppe; Jaszunski, Michal. (Department of Chemistry, University of Aarhus, Aarhus, DK-8000 Den.). *J. Chem. Phys.* 2001, 115(2), 671-679 (Eng), American Institute of Physics. A general scheme is presented for the calcn. of excitation energies using the std. coupled cluster hierarchy and a simple implementation is described for the higher std. models. An error anal. is performed to find to what order excitation energies in different coupled cluster models are correct. The anal. includes both the std. coupled cluster hierarchy as well as the approx. models and considers excitations to states that are dominated by one, two, and three electron replacements compared to the ref. state. Calcns. are presented up to the quadruple excitation level for the open shell B<sub>2</sub> mol. using an excited closed shell state as ref. state to emphasize the usefulness of the order anal. The coupled cluster excitation energies are compared to full CI results.

meopem.  
pacem  
rupull  
best. cpcm.

C.A. 2001, 135, N9

2001

**F: B2**

**P: 3**

135:37388 A systematic theoretical investigation of the valence excited states of the diatomic molecules B<sub>2</sub>, C<sub>2</sub>, N<sub>2</sub> and O<sub>2</sub>. Muller, Thomas; Dallos, Michal; Lischka, Hans; Dubrovay, Zsofia; Szalay, Peter G. Institute for Theoretical Chemistry and Structural Biology, University of Vienna, Vienna, Austria. Theor. Chem. Acc. (2001), 105(3), 227-243. in English.

A quant. survey on the performance of multireference (MR), CI with all singles and doubles (CISD), MRCISD with the Davidson correction and MR-av. quadratic coupled cluster (AQCC) methods for a wide range of excited states of the diat. mols. B<sub>2</sub>, C<sub>2</sub>, N<sub>2</sub> and O<sub>2</sub> is presented. The spectroscopic consts.  $r_e$ ,  $\omega_e$ ,  $T_e$  and  $D_e$  for a total of 60 states have been evaluated and critically compared with available exptl.



data. Basis set extrapolations and size-extensivity corrections are essential for highly accurate results: MR-AQCC mean-errors of 0.001  $\text{\AA}$ , 10  $\text{cm}^{-1}$ , 300  $\text{cm}^{-1}$  and 300  $\text{cm}^{-1}$  have been obtained for  $r_e$ ,  $\omega_e$ ,  $T_e$  and  $D_e$ , resp. Owing to the very systematic behavior of the results depending on the basis set and the choice of method, shortcomings of the calcs., such as Rydberg state coupling or insufficient configuration spaces, can be identified independently of exptl. data. On the other hand, significant discrepancies with expt. for states which indicate no shortcomings whatsoever in the theor. treatment suggest the re-evaluation of exptl. results. The broad variety of states included in our survey and the uniform quality of the results indicate that the obsd. systematics is a general feature of the methods and, hence, is mol.-independent.

B<sub>2</sub>

DM. 40942

2001

135: 231940d Analytical potential energy functions of the neutral and cationic B<sub>2</sub>. Yang, C. L.; Zhu, Z. H.; Wang, R.; Liu, X. Y. (Department of Physics, Yantai Normal University, Yantai, Peop. Rep. China 264000). *THEOCHEM* 2001, 548, 47-52 (Eng), Elsevier Science B.V. Ab initio quadratic CI calcn. (QCISD) and 6-311G\*\* basis have been used to calc. the equil. geometries, potential energy curves, spectroscopic disocn. energies of the ground and low-lying electronic states of B<sub>2</sub> and B<sub>2</sub><sup>+</sup>. The correct ground state of B<sub>2</sub><sup>+</sup> is detd. by using the potential energy curves and optimization calcn. at the same time. The disocn. limits of these states are induced by using the principles of resoln., direct product and redn. of group representation and reversibility for the microscopic process. The anal. potential energy functions of these states have been fitted with Murrell-Sorbie potential energy function from our ab initio calcn. results. The spectroscopic data of each state are calcd. through the relationship between anal. potential energy function and spectroscopic data, and compared with some other theor. data and exptl. data available from the expt. at present.

теор. расчет

ге, De,

поменя. кривые

в осн. и кривые

электр. сост.

(H) B<sub>2</sub><sup>+</sup>



С. А. 2001, 135, № 6.

$B_2^+$ 

om. 40942

2001

135: 231940d Analytical potential energy functions of the neutral and cationic  $B_2$ . Yang, C. L.; Zhu, Z. H.; Wang, R.; Liu, X. Y. (Department of Physics, Yantai Normal University, Yantai, Peop. Rep. China 264000). *THEOCHEM* 2001, 548, 47-52 (Eng), Elsevier Science B.V. Ab initio quadratic CI calcn. (QCISD) and 6-311G\*\* basis have been used to calc. the equil. geometries, potential energy curves, spectroscopic disson. energies of the ground and low-lying electronic states of  $B_2$  and  $B_2^+$ . The correct ground state of  $B_2^+$  is detd. by using the potential energy curves and optimization calcn. at the same time. The disson. limits of these states are induced by using the principles of resolu., direct product and redn. of group representation and reversibility for the microscopic process. The anal. potential energy functions of these states have been fitted with Murrell-Sorbie potential energy function from our ab initio calcn. results. The spectroscopic data of each state are calcd. through the relationship between anal. potential energy function and spectroscopic data, and compared with some other theor. data and exptl. data available from the expt. at present.

моп. парамет

 $r_e, D_e,$ 

номери. квант

в осн. и нулев.

энерг. сост.

④  $B_2^+$   $\Delta$ 

С. А. 2001, 135, № 6.